

Московский государственный университет имени М.В.Ломоносова

Факультет вычислительной математики и кибернетики

Кафедра математических методов прогнозирования

**Задание по курсу «Суперкомпьютерное
моделирование и технологии»**

**Решение краевой задачи для уравнения Пуассона
методом конечных разностей с использованием
технологий MPI+OpenMP+CUDA.**

Выполнил:

студент 617 группы

Г.В. Кормаков

Содержание

1	Постановка задачи	2
2	Численный метод решения	3
2.1	Общая схема метода конечных разностей	3
2.2	Конкретный вид разностной схемы для варианта 8	3
2.3	Метод решения СЛАУ	6
2.4	Вид функций	7
3	Нахождение $F(x, y), \psi(x, y)$	7
4	Описание программной реализации	8
4.1	Формализация требований на домены	8
4.2	Алгоритм разбиения на блоки	9
4.3	Реализация с использованием MPI и OpenMP	11
4.4	Реализация с использованием CUDA	12
4.4.1	Сборка cuda-программы	13
4.4.2	Запуск скомпилированной программы	13
5	Результаты на системах Blue Gene/P и Polus	14
6	Заключение	18
7	Литература	19
8	Приложение 1. Код MPI программы	20
9	Приложение 2. Код MPI программы с оптимизацией сопряжёнными градиентами	33
10	Приложение 3. Код MPI+CUDA программы	48
11	Приложение 4. Сборка CUDA программы	64
12	Приложение 5. Запуск CUDA	64

1 Постановка задачи

В прямоугольнике $\Pi = \{(x, y) : A_1 \leq x \leq A_2, B_1 \leq y \leq B_2\}$, граница Γ которого состоит из отрезков

$$\gamma_R = \{(A_2, y), B_1 \leq y \leq B_2\}, \quad \gamma_L = \{(A_1, y), B_1 \leq y \leq B_2\}$$

$$\gamma_T = \{(x, B_2), A_1 \leq x \leq A_2\}, \quad \gamma_B = \{(x, B_1), A_1 \leq x \leq A_2\}$$

рассматривается дифференциальное уравнение Пуассона с потенциалом

$$-\Delta u + q(x, y)u = F(x, y) \quad (1)$$

в котором оператор Лапласа

$$\Delta u = \frac{\partial}{\partial x} \left(k(x, y) \frac{\partial u}{\partial x} \right) + \frac{\partial}{\partial y} \left(k(x, y) \frac{\partial u}{\partial y} \right) \quad (2)$$

Для выделения единственного решения уравнение дополняется граничными условиями. На каждом отрезке границы прямоугольника Π задается условие одним из двух способов - условиями Дирихле (1-ого типа) или условиями второго (Неймана) и третьего типа.

Для выданного варианта 8 задания краевые условия задаются следующими условиями: третьего типа на правой и левой границе и второго на верхней и нижней на сетке (см. раздел 2). Общая формула условий третьего типа выглядит следующим образом:

$$\left(k \frac{\partial u}{\partial \mathbf{n}} \right) (x, y) + \alpha u(x, y) = \psi(x, y), \quad (3)$$

где \mathbf{n} - единичная внешняя нормаль к границе прямоугольника.

Краевое условие второго типа (условие Неймана) содержится в краевом условии третьего типа (случай $\alpha = 0$ в 3).

Функции $F(x, y), \varphi(x, y), \psi(x, y)$, коэффициент $k(x, y)$, потенциал $q(x, y)$ и параметр $\alpha \geq 0$ считаются известными, функцию $u(x, y)$, удовлетворяющую уравнению 1 и граничным условиям, определенным вариантом задания 8, требуется найти.

Важно отметить, что нормаль \mathbf{n} не определена в угловых точках прямоугольника. Краевое условие третьего типа будет рассматриваться лишь в тех точках границы, где нормаль существует.

2 Численный метод решения

2.1 Общая схема метода конечных разностей

В качестве метода решения задачи Пуассона 1 с потенциалом предлагается использовать метод конечных разностей.

Для этого область Π дискретизуем сеткой $\bar{\omega}_h = \bar{\omega}_1 \times \bar{\omega}_2$, где $\bar{\omega}_1$ – разбиение сетки по оси Ox с шагом $h_1 = \frac{A_2 - A_1}{M}$ и $\bar{\omega}_2$ – разбиение сетки по оси Oy с шагом $h_2 = \frac{B_2 - B_1}{N}$:

$$\bar{\omega}_1 = \{x_i = A_1 + ih_1, i = \overline{0, M}\}, \bar{\omega}_2 = \{y_j = B_1 + jh_2, j = \overline{0, N}\}$$

Также примем обозначение ω_h для внутренних узлов сетки $\bar{\omega}_h$

Рассматривается линейное пространство H функций, заданных на сетке $\bar{\omega}_h$. Обозначим через w_{ij} значение сеточной функции $w \in H$ в узле сетки $(x_i, y_j) \in \bar{\omega}_h$. Будем считать, что в пространстве H задано скалярное произведение и евклидова норма

$$[u, v] = \sum_{i=0}^M h_1 \sum_{j=0}^N h_2 \rho_{ij} u_{ij} v_{ij}, \quad \|u\|_E = \sqrt{[u, u]},$$

где ρ_{ij} – весовая функция $\rho_{ij} = \rho^{(1)}(x_i) \rho^{(2)}(y_j)$ с

$$\rho^{(1)}(x_i) = \begin{cases} 1, & 1 \leq i \leq M-1 \\ 1/2, & i = 0, i = M \end{cases} \quad \rho^{(2)}(y_j) = \begin{cases} 1, & 1 \leq j \leq N-1 \\ 1/2, & j = 0, j = N \end{cases}$$

В методе конечных разностей дифференциальная задача математической физики заменяется конечно-разностной операторной задачей вида

$$Aw = B \tag{4}$$

где $A : H \rightarrow H$ – оператор, действующий в пространстве сеточных функций, $B \in H$ – известная правая часть. Задача 4 называется разностной схемой. Решение этой задачи считается численным решением исходной дифференциальной задачи.

2.2 Конкретный вид разностной схемы для варианта 8

Уравнение 1 приближается для всех внутренних точек ω_h сетки разностной схемой следующего вида:

$$-\Delta_h w_{ij} + q_{ij} w_{ij} = F_{ij}, \quad i = \overline{1, M-1}, j = \overline{1, N-1},$$

в котором $F_{ij} = F(x_i, y_j)$, $q_{ij} = q(x_i, y_j)$ и разностный оператор Лапласа

$$\Delta_h w_{ij} = \frac{1}{h_1} \left(k(x_i + 0.5h_1, y_j) \frac{w_{(i+1)j} - w_{ij}}{h_1} - k(x_i - 0.5h_1, y_j) \frac{w_{ij} - w_{(i-1)j}}{h_1} \right) + \\ + \frac{1}{h_2} \left(k(x_i, y_j + 0.5h_2) \frac{w_{i(j+1)} - w_{ij}}{h_2} - k(x_i, y_j - 0.5h_2) \frac{w_{ij} - w_{i(j-1)}}{h_2} \right)$$

В разностном операторе Лапласа введём обозначения для правых и левых разностных производных по координатам:

$$w_{x,ij} \equiv \frac{w_{(i+1)j} - w_{ij}}{h_1}, \quad w_{\bar{x},ij} \equiv w_{x,(i-1)j} = \frac{w_{ij} - w_{(i-1)j}}{h_1} \\ w_{y,ij} \equiv \frac{w_{i(j+1)} - w_{ij}}{h_2}, \quad w_{\bar{y},ij} \equiv w_{y,i(j-1)} \equiv \frac{w_{ij} - w_{i(j-1)}}{h_2}$$

и зададим сеточные коэффициенты

$$a_{ij} \equiv k(x_i - 0.5h_1, y_j), \quad b_{ij} \equiv k(x_i, y_j - 0.5h_2).$$

Тогда разностный оператор Лапласа равен

$$\Delta_h w_{ij} = \frac{1}{h_1} (k(x_i + 0.5h_1, y_j) w_{x,ij} - k(x_i - 0.5h_1, y_j) w_{x,(i-1)j}) + \\ + \frac{1}{h_2} (k(x_i, y_j + 0.5h_2) w_{y,ij} - k(x_i, y_j - 0.5h_2) w_{y,i(j-1)}) = \\ = \frac{a_{(i+1)j} w_{x,ij} - a_{ij} w_{x,(i-1)j}}{h_1} + \frac{b_{i(j+1)} w_{y,ij} - b_{ij} w_{y,i(j-1)}}{h_2} = \\ = \frac{a_{(i+1)j} w_{\bar{x},(i+1)j} - a_{ij} w_{\bar{x},ij}}{h_1} + \frac{b_{i(j+1)} w_{\bar{y},i(j+1)} - b_{ij} w_{\bar{y},ij}}{h_2} \equiv (aw_{\bar{x}})_{x,ij} + (bw_{\bar{y}})_{y,ij} \quad (5)$$

Итого, получаем $(M-1) \cdot (N-1)$ уравнений во внутренних точках:

$$-\Delta_h w_{ij} + q_{ij} w_{ij} = F_{ij}, \quad i = \overline{1, M-1}, j = \overline{1, N-1} \quad (6)$$

Рассмотрим конкретные граничные условия, заданные в варианте 8 (см. таблицу 1).

Для правой (схема 7) и левой (схема 8) границы (γ_R, γ_L соответственно) задаются условия третьего типа. Разностный вариант (с учётом членов для соответствия порядка погрешности аппроксимации с основным уравнением 5) для них выглядит следующим образом:

$$\frac{2}{h_1} (aw_{\bar{x}})_{Mj} + \left(q_{Mj} + \frac{2\alpha_R}{h_1} \right) w_{Mj} - (bw_{\bar{y}})_{y,Mj} = F_{Mj} + \frac{2}{h_1} \psi_{Mj}^{(R)}, \quad j = \overline{1, N-1} \quad (7)$$

$$-\frac{2}{h_1} (aw_{\bar{x}})_{1j} + \left(q_{0j} + \frac{2\alpha_L}{h_1} \right) w_{0j} - (bw_{\bar{y}})_{y,0j} = F_{0j} + \frac{2}{h_1} \psi_{0j}^{(L)}, \quad j = \overline{1, N-1} \quad (8)$$

Для верхней (схема 9) и нижней (схема 10) границы (γ_T, γ_B соответственно) задаются условия второго типа (Неймана).

$$\frac{2}{h_2} (bw_{\bar{y}})_{iN} + q_{iN} w_{iN} - (aw_{\bar{x}})_{x,iN} = F_{iN} + \frac{2}{h_2} \psi_{iN}^{(T)}, \quad i = \overline{1, M-1} \quad (9)$$

$$-\frac{2}{h_2} (bw_{\bar{y}})_{i1} + q_{i0} w_{i0} - (aw_{\bar{x}})_{x,i0} = F_{i0} + \frac{2}{h_2} \psi_{i0}^{(B)}, \quad i = \overline{1, M-1} \quad (10)$$

Также в угловых точках не определена нормаль, поэтому необходимо их учесть отдельными уравнениями.

Для точки $P(A_1, B_1)$ прямоугольника Π

$$-\frac{2}{h_1}(aw_{\bar{x}})_{10} - \frac{2}{h_2}(bw_{\bar{y}})_{01} + \left(q_{00} + \frac{2\alpha_L}{h_1}\right)w_{00} = F_{00} + \left(\frac{2}{h_1} + \frac{2}{h_2}\right)\psi_{00} \quad (11)$$

Для точки $P(A_2, B_1)$ прямоугольника Π

$$\frac{2}{h_1}(aw_{\bar{x}})_{M0} - \frac{2}{h_2}(bw_{\bar{y}})_{M1} + \left(q_{M0} + \frac{2\alpha_R}{h_1}\right)w_{M0} = F_{M0} + \left(\frac{2}{h_1} + \frac{2}{h_2}\right)\psi_{M0} \quad (12)$$

Для точки $P(A_2, B_2)$ прямоугольника Π

$$\frac{2}{h_1}(aw_{\bar{x}})_{MN} + \frac{2}{h_2}(bw_{\bar{y}})_{MN} + \left(q_{MN} + \frac{2\alpha_R}{h_1}\right)w_{MN} = F_{MN} + \left(\frac{2}{h_1} + \frac{2}{h_2}\right)\psi_{MN} \quad (13)$$

Для точки $P(A_1, B_2)$ прямоугольника Π

$$-\frac{2}{h_1}(aw_{\bar{x}})_{1N} + \frac{2}{h_2}(bw_{\bar{y}})_{0N} + \left(q_{0N} + \frac{2\alpha_L}{h_1}\right)w_{0N} = F_{0N} + \left(\frac{2}{h_1} + \frac{2}{h_2}\right)\psi_{0N} \quad (14)$$

Уточним, что обозначили за $\psi^{(T)}, \psi^{(B)}$ функции краевых условий второго типа (для данного варианта), а за $\psi^{(R)}, \psi^{(L)}$ – функции краевых условий третьего типа. В угловых точках вектор нормали не определён, поэтому краевые условия равны значению функции $u(x, y)$.

Вариант задания	Граничные условия				Решение $u(x, y)$	Коэфф. $k(x, y)$	Потенциал $q(x, y)$
	γ_R	γ_L	γ_T	γ_B			
8	3 тип	3 тип	2 тип	2 тип	$u_2(x, y)$	$k_3(x, y)$	$q_2(x, y)$

Таблица 1: Условия задания

Запишем **финальную систему**, убедившись, что она определена.

$$\begin{aligned}
& - (aw_{\bar{x}})_{x,ij} - (bw_{\bar{y}})_{y,ij} + q_{ij}w_{ij} = F_{ij}, i = \overline{1, M-1}, j = \overline{1, N-1} \\
& \frac{2}{h_1} (aw_{\bar{x}})_{Mj} + \left(q_{Mj} + \frac{2}{h_1} \right) w_{Mj} - (bw_{\bar{y}})_{y,Mj} = F_{Mj} + \frac{2}{h_1} \psi_{Mj}^{(R)}, j = \overline{1, N-1} \\
& - \frac{2}{h_1} (aw_{\bar{x}})_{1j} + \left(q_{0j} + \frac{2}{h_1} \right) w_{0j} - (bw_{\bar{y}})_{y,0j} = F_{0j} + \frac{2}{h_1} \psi_{0j}^{(L)}, j = \overline{1, N-1} \\
& \frac{2}{h_2} (bw_{\bar{y}})_{iN} + q_{iN}w_{iN} - (aw_{\bar{x}})_{x,iN} = F_{iN} + \frac{2}{h_2} \psi_{iN}^{(T)}, i = \overline{1, M-1} \\
& - \frac{2}{h_2} (bw_{\bar{y}})_{i1} + q_{i0}w_{i0} - (aw_{\bar{x}})_{x,i0} = F_{i0} + \frac{2}{h_2} \psi_{i0}^{(B)}, i = \overline{1, M-1} \\
& - \frac{2}{h_1} (aw_{\bar{x}})_{10} - \frac{2}{h_2} (bw_{\bar{y}})_{01} + \left(q_{00} + \frac{2}{h_1} \right) w_{00} = F_{00} + \left(\frac{2}{h_1} + \frac{2}{h_2} \right) \frac{\psi_{00}^{(L)} + \psi_{00}^{(B)}}{2} \\
& \frac{2}{h_1} (aw_{\bar{x}})_{M0} - \frac{2}{h_2} (bw_{\bar{y}})_{M1} + \left(q_{M0} + \frac{2}{h_1} \right) w_{M0} = F_{M0} + \left(\frac{2}{h_1} + \frac{2}{h_2} \right) \frac{\psi_{M0}^{(R)} + \psi_{M0}^{(B)}}{2} \\
& \frac{2}{h_1} (aw_{\bar{x}})_{MN} + \frac{2}{h_2} (bw_{\bar{y}})_{MN} + \left(q_{MN} + \frac{2}{h_1} \right) w_{MN} = F_{MN} + \left(\frac{2}{h_1} + \frac{2}{h_2} \right) \frac{\psi_{MN}^{(R)} + \psi_{MN}^{(T)}}{2} \\
& - \frac{2}{h_1} (aw_{\bar{x}})_{1N} + \frac{2}{h_2} (bw_{\bar{y}})_{0N} + \left(q_{0N} + \frac{2}{h_1} \right) w_{0N} = F_{0N} + \left(\frac{2}{h_1} + \frac{2}{h_2} \right) \frac{\psi_{0N}^{(L)} + \psi_{0N}^{(T)}}{2}
\end{aligned}$$

Получили $(N-1)(M-1) + 2(M-1) + 2(N-1) + 4 = MN - M - N + 1 + 2M + 2N - 4 + 4 = MN + N + M + 1$ уравнений. Число неизвестных w_{ij} равно $(M+1)(N+1) = MN + N + M + 1$. И система гарантирует единственность решения для данной разностной схемы.

Таким образом, матрица оператора A определяется коэффициентами перед неизвестными в левой части, а матрицы B – в правой.

2.3 Метод решения СЛАУ

Приближенное решение системы уравнений для сформулированных выше краевых задач может быть получено итерационным методом наименьших невязок. Этот метод позволяет получить последовательность сеточных функций $w^{(k)} \in H, k = 1, 2, \dots$, сходящуюся по норме пространства H к решению разностной схемы, т.е.

$$\|w - w^{(k)}\|_E \xrightarrow{k \rightarrow +\infty} 0$$

Метод является одношаговым. Итерация обновления $w^{(k+1)}$ записывается в виде

$$w_{ij}^{(k+1)} = w_{ij}^{(k)} - \tau_{k+1} r_{ij}^{(k)},$$

где невязка $r^{(k)} = Aw^{(k)} - B$, итерационный параметр $\tau_{k+1} = \frac{[Ar^{(k)}, r^{(k)}]}{\|Ar^{(k)}\|_E^2}$

В качестве условия останковки используем неравенство $\|w^{(k+1)} - w^{(k)}\|_E < \varepsilon$, где ε - положительное число, определяющее точность итерационного метода. Константу ε для данной задачи предлагается взять равной 10^{-6} .

2.4 Вид функций

В таблице 1 приведены конкретные функции для данного варианта. Они задаются следующим образом

$$u_2(x, y) = \sqrt{4 + xy}, \Pi = [0, 4] \times [0, 3] \quad (15)$$

$$k_3(x, y) = 4 + x + y \quad (16)$$

$$q_2(x, y) = \begin{cases} x + y, & x + y \geq 0 \\ 0, & x + y < 0 \end{cases} \quad (17)$$

3 Нахождение $F(x, y), \psi(x, y)$

Поскольку для численной реализации нам предлагается сравнить приближенное решение с истинным, то необходимо найти аналитический вид функции $F(x, y)$ и краевых условий¹ для известного решения $u(x, y) = u_2(x, y) = \sqrt{4 + xy}$, $\Pi = [0, 4] \times [0, 3]$, $k(x, y) = k_3(x, y) = 4 + x + y$ и потенциалом $q(x, y) = q_2(x, y) = \max(0, x + y)$. Для определённости, возьмём вектор нормали \mathbf{n} , направленным извне.

$$\begin{aligned} \frac{\partial u}{\partial x} &= \frac{y}{2\sqrt{4 + xy}}; & \frac{\partial u}{\partial y} &= \frac{x}{2\sqrt{4 + xy}}; \\ \frac{\partial}{\partial x} \left(k(x, y) \frac{y}{2\sqrt{4 + xy}} \right) &= \frac{y}{2\sqrt{4 + xy}} - k(x, y) \frac{y^2}{4(4 + xy)^{3/2}} \\ \text{Аналогично для } &\frac{\partial}{\partial y}. \end{aligned}$$

¹В случае варианта 8 необходимо найти вид только функции $\psi(x, y)$

Тогда

$$\begin{aligned}
F(x, y) &= -\Delta u + q(x, y)u = \\
&= -\frac{\partial}{\partial x} \left(k(x, y) \frac{y}{2\sqrt{4+xy}} \right) - \frac{\partial}{\partial y} \left(k(x, y) \frac{x}{2\sqrt{4+xy}} \right) + q(x, y)u = \\
&= -\frac{y}{2u(x, y)} + k(x, y) \frac{y^2}{2u^3(x, y)} - \frac{x}{2u(x, y)} + k(x, y) \frac{x^2}{4u^3(x, y)} + q(x, y)u = \\
&= \frac{-2u^2y + ky^2 - 2u^2x + kx^2 + 4qu^4}{4u^3} = \\
&= \frac{-2(4+xy)(x+y) + (4+x+y)y^2 - 2(4+xy)x + (4+x+y)x^2 + 4qu^4}{4(4+xy)^{3/2}} = \\
&= \frac{x^3 - x^2(2y-4-y) - x(8+2y^2-y^2) + y(-8+4y+y^2) + 4q(4+xy)^2}{4(4+xy)^{3/2}} = \\
&= \frac{x^3 - x^2(y-4) - x(y^2+8) + y(y^2+4y-8) + 4\max(0, x+y)(4+xy)^2}{4(4+xy)^{3/2}} \quad (18)
\end{aligned}$$

Приведём пример вычислений функции $\psi(x, y)$ для в «общем виде» (знак \pm не значит обязательное наличие члена, в зависимости от направления, одна из компонент нормали может равняться 0).

$$\begin{aligned}
\psi(x, y) &= \left(k \frac{\partial u}{\partial \mathbf{n}} \right) (x, y) + \alpha u(x, y) = k \left(\pm \frac{y}{2u} \pm \frac{x}{2u} \right) + \alpha u = \\
&= \frac{(4+x+y)(\pm x \pm y) + 2\alpha(4+xy)}{2\sqrt{4+xy}}
\end{aligned}$$

Для γ_R, γ_L $\alpha = 1$, для γ_T, γ_B $\alpha = 0$. Также учтём знаки нормали к поверхности в соответствующих направлениях. Таким образом, в обозначениях уравнений 11 - 13

$$\psi^{(R)}(x, y) = \frac{y(4+x+y) + 2(4+xy)}{2\sqrt{4+xy}}; \quad \psi^{(L)}(x, y) = \frac{-y(4+x+y) + 2(4+xy)}{2\sqrt{4+xy}} \quad (19)$$

$$\psi^{(T)}(x, y) = \frac{x(4+x+y)}{2\sqrt{4+xy}}; \quad \psi^{(B)}(x, y) = \frac{-x(4+x+y)}{2\sqrt{4+xy}} \quad (20)$$

4 Описание программной реализации

4.1 Формализация требований на домены

Перед непосредственной реализацией важно понять, как осуществлять разбиение на блоки-домены Π_{ij} , соблюдая следующие условия:

1. отношение количества узлов по переменным x и y в каждом домене принадлежало диапазону $[1/2, 2]$

2. количество узлов по переменным x и y любых двух доменов отличалось не более, чем на единицу.

Условия в данной формулировке приведены в постановке задания. Уточним более корректно смысл каждого пункта². Обозначим количество узлов сетки в одном домене $n_x(i)$ и $n_y(j)$ соответственно по x и y . Количество узлов, вообще говоря, зависит от числа процессоров p , выделенных на задачу, в приведённых обозначениях считаем, что размер зависит от числа процессов, выделенных линейно на каждую ось (далее будет объяснён алгоритм разбиения).

Первое условие утверждает, что для любого домена его форма должна быть похожа на прямоугольную или квадратную. Формальнее,

$$\frac{n_x(i)}{n_y(j)} \in [0.5, 2] \quad \forall i, j \quad (21)$$

Данная конфигурация позволяет минимизировать потери во времени на пересылки.

Второе условие даёт равномерность разбиения на домены. Т.е., вообще говоря, размеры доменов по оси x не должны отличаться более, чем на 1, и по y аналогично. Таким образом, $n_x(i), n_y(j)$, фактически должны быть константными, но из-за того, что размеры сетки могут быть не кратны числу процессоров, на граничных блоках мы получаем иные размеры. Именно на то, чтобы отличия в размерах были в этом случае минимальны и направлено ограничение 2.

Формальнее,

$$|n_x(i_1) - n_x(i_2)| \leq 1, |n_y(j_1) - n_y(j_2)| \leq 1, \forall (i_1, j_1), (i_2, j_2) \quad (22)$$

4.2 Алгоритм разбиения на блоки

Приведём алгоритм, удовлетворяющий условиям 21,22. Обозначим за p_x число процессоров, работающих в ячейках по оси x , и p_y — по y .

Для гарантированного выполнения условия 22 возьмём последовательность размеров блоков по каждой оси, отличающихся только на 1 точку. Т.е. будем чередовать по оси x домены с размером a_x и $a_x + 1$ (по y соответственно обозначим за a_y и $a_y + 1$).

²Корректность гарантирована объяснениями преподавателей на лекции, посвящённой постановке задачи

Таким образом, получаем следующие разложения

$$\sum_{i=1}^{p_x} n_x(i) = k_1 a_x + k_2 (a_x + 1) = M, \quad k_1 + k_2 = p_x \Rightarrow a_x p_x + k_2 = M \quad (23)$$

$$\sum_{j=1}^{p_y} n_y(j) = s_1 a_y + s_2 (a_y + 1) = N, \quad s_1 + s_2 = p_y \Rightarrow a_y p_y + s_2 = N \quad (24)$$

Условие [21](#) в новых обозначениях формулируется как $0.5 \leq \frac{a_x}{a_y} \leq 2$, т.к. в приведённой формулировке алгоритма чередоваться бóльшие блоки будут одновременно по осям.

Из формул [23](#), [24](#) видно, что необходимо поделить с остатком M и N на количество процессоров по осям. При этом не стоит забывать, что должно соблюдаться неравенство $p_x p_y \leq p$.

Предлагается следующая схема: берём $p_x = 2^k$ процессоров на ось x и $p_y = \lfloor \frac{p}{2^k} \rfloor$ процессоров на ось y .³ Для выполнения условия [21](#) логичным кажется выбрать эти числа, исходя из пропорции [25](#).

$$\frac{2^k}{\frac{p}{2^k}} = \frac{M}{N} \Rightarrow \frac{2^{2k}}{p} = \frac{M}{N} \Rightarrow 2^{2k} = \frac{pM}{N} \Rightarrow k = \left\lfloor \frac{\log_2 \left(\frac{pM}{N} \right)}{2} \right\rfloor \quad (25)$$

В случае $p = 2^n$ выражение [25](#) переходит в $k = \left\lfloor \frac{n + \log_2 \left(\frac{M}{N} \right)}{2} \right\rfloor$.

Таким образом, итоговая схема получения блоков, удовлетворяющих условиям [21](#) (из-за выбора k согласно [25](#)) и [22](#) (из-за выбора определённой последовательности), выглядит следующим образом:

1. Задаём $p_x = 2^{\left\lfloor \frac{\log_2 \left(\frac{pM}{N} \right)}{2} \right\rfloor}$, $p_y = \left\lfloor \frac{p}{p_x} \right\rfloor$.
2. Получаем $a_x = \lfloor \frac{M}{p_x} \rfloor$, $a_y = \lfloor \frac{N}{p_y} \rfloor$ и фиксируем $k_2 = M \bmod p_x$, $s_2 = N \bmod p_y$
3. Далее генерируем $k_1 = p_x - k_2$ доменов по оси x с размером a_x и $s_1 = p_y - s_2$ доменов по оси y с размером a_y .
4. Затем начинается генерация k_2 доменов по оси x с размером $a_x + 1$ и s_2 доменов по оси y с размером $a_y + 1$

³Данная формула носит общий характер, в рамках текущего задания $p = 2^n$ и можно сразу сказать, что $p_y = 2^{n-k}$

4.3 Реализация с использованием MPI и OpenMP

В рамках экспериментов была осуществлена реализация описанной разностной схемы с использованием MPI и OpenMP. Реализация написана на языке C. Классическая MPI реализация приведена в [1](#), с методом сопряжённых градиентов в [9](#).

Также (из-за неэффективности вычисления на системе Blue Gene/P) реализована схема оптимизации с помощью сопряжённых градиентов (реализация с MPI в приложении [2](#)). Метод сопряжённых градиентов (везде далее CG) может показывать нестабильность в случае несимметричной матрицы СЛАУ, результаты сравнения продемонстрированы в сводных таблицах. Также для сравнения приводится время вычисления решения на ноутбуке с 4 ядрами (8-ю логическими процессорами)⁴

Реализация с использованием OpenMP отличается добавлением в циклах директив `pragma omp parallel for`.

Коротко опишем ключевые этапы программы с MPI. С помощью `MPI_Cart_create` создаётся топология на прямоугольной сетке, совпадающей по реализации с разбиением, предлагаемым в разделе [4.2](#).

Далее проверяется, какая ошибка каждого блока по разностной схеме от истинного решения, известного заранее. После проверки начинается основной цикл оптимизации. Критерием останова является получение нормы относительной ошибки меньше заданного значения. В случае сопряжённых градиентов - получение отношения нормы остатков к норме матрицы правой части меньше заданного числа.

В цикле заполняются блоки, расширенные по одной точке по каждому направлению (для получения от соседних процессов информации об их граничных точках). Обмен происходит с помощью асинхронной отправки и синхронного получения.

Стоит отметить, что на локальном запуске не требовалось наличия функции `MPI_Wait()`, однако Blue Gene/P потребовал написания данной реализации из-за специфики архитектуры.

После этого вычисляется остаток на текущем шаге и перед получением произведения Ar также проводится необходимая синхронизация.

⁴Asus ZenBook BX433F, Processor Intel(R) Core(TM) i7-8565U CPU @ 1.80GHz 1.99 GHz. Installed RAM 16.0 GB (15.8 GB usable). System type 64-bit operating system, x64-based processor.

Затем вычисляется коэффициент (коэффициенты, в случае сопряжённых градиентов) для оптимизации и делается шаг.

В конце программы происходит барьерная синхронизация и вывод результатов по времени на стандартный поток вывода и по данным в необходимые для визуализации файлы.

4.4 Реализация с использованием CUDA

В дополнение к приведённой выше реализации на MPI+OpenMP был реализован код на CUDA (см. приложение 3). Для этого каждая функция, вычисляющая значение в точке, и циклы над массивами по индексам были сделаны `__device__` кодом.

Функции умножения на матрицу A и получение матрицы B перенесены на память *device* также.

Основной цикл вычислений теперь максимально упростился – осуществляется уже стандартный вызов инициализации MPI, создание топологии процессоров. Затем происходит инициализация cuda-профилировщика и начинается самое важное – необходимо распределить для каждого MPI-процессора его решётки и блоки внутри неё. Для этого задаётся в виде констант число нитей на один блок по каждой из двумерных осей.

В результате, получается разбиение, в котором общее число нитей равно числу точек в гриде этого процессора.

В основном цикле оптимизации происходит расчёт, аналогичный предыдущему пункту. Однако важно отметить ключевые изменения:

1. Функция пересылки границ теперь использует динамическую память устройства, поэтому внутри есть вызовы копирования памяти по необходимости на хост.
2. Подсчёт скалярного произведения взят из общего доступа и синхронизирует все нити для получения единого значения. Как показалось, это самая сложная часть в реализации при переходе к cuda.

По завершению используемые ресурсы освобождаются и выводится затраченное время.

4.4.1 Сборка cuda-программы

При реализации сначала сделаны собственные библиотеки для удобства поиска ошибок, однако после компиляции на Polus вылетало сообщение о провале запуска MPI_Init.

Поэтому был сделан общий файл и слинкован с MPI библиотекой (см. makefile в [11](#)). Однако результат оказался аналогичным.

4.4.2 Запуск скомпилированной программы

Для запуска был сделан файл постановки на задачу (см. [12](#)). Он добавлял параметры запуска: число процессоров по стойкам, число стоек, число гри на стойках и количество нитей для OpenMP.

В приложении указано число процессоров 4 и минимальные требования задания.

Запуск приводит к ошибке в MPI_Init, которую не смог исправить (недублирующаяся часть приведена ниже):

```
1 Rank 0 of MPI_COMM_WORLD could not getenv OPAL_PREFIX. Goodbye.
2 -----
3 Primary job terminated normally, but 1 process returned
4 a non-zero exit code. Per user-direction, the job has been aborted.
5 -----
6 -----
7 Sorry! You were supposed to get help about:
8     opal_init:startup:internal-failure
9 But I couldn't open the help file:
10    /__unresolved_path_____/exports/optimized/share/
        spectrum_mpi/help-opal-runtime.txt: No such file or directory. Sorry!
11 -----
12 .....
13 *** An error occurred in MPI_Init
14 *** on a NULL communicator
15 *** MPI_ERRORS_ARE_FATAL (processes in this communicator will now abort,
16 *** and potentially your MPI job)
```

17 [polus-c4-ib.bmc.hpc.cs.msu.ru:6428] Local abort before MPI_INIT completed completed
successfully, but am not able to aggregate error messages, and not able to
guarantee that all other processes were killed!

18 -----

5 Результаты на системах Blue Gene/P и Polus

Для данной задачи выполнены подсчёты ускорения программы на системах Blue Gene/P и Polus.

Под ускорением программы, запущенной на p MPI-процессах, понимается величина:

$$S_p = \frac{T_m}{T_p}$$

где T_m — время работы на минимальном числе MPI-процессов, T_p — время работы программы на p MPI-процессах.

Результаты запусков стандартной реализации на системе Blue Gene/P с использованием MPI и OpenMP приведены в 2 и 3.

Результаты использования только MPI 2 показывают лишь замедление времени исполнения при увеличении числа узлов. Возможные варианты объяснения видятся следующие:

- Топология, создаваемая MPI_Cart, становится ресурсоёмкой при нескольких обменах в ходе исполнения программы
- Медленный метод сходимости
- Загрузка суперкомпьютера
- Компиляция без оптимизации под архитектуру

Также видна закономерность в том, что на бóльшей сетке метод оптимизации сходится быстрее⁵.

⁵Отметим, что чтобы уместиться в разрешённые временные рамки, была изменена начальная инициализация.

Число процессоров p	Сетка $M \times N$	Время T (мин)	Ускорение S
128	500×1000	5.031	1
256	500×1000	6.023	0.83
512	500×1000	9.889	0.51
128	1000×1000	1.975	1
256	1000×1000	2.341	0.84
512	1000×1000	3.488	0.57
(локально, CG) 4	500×1000	4.491	1.12
(локально, CG) 4	1000×1000	20.674	0.10

Таблица 2: Результаты расчетов MPI версии на ПВС IBM Blue Gene/P

Рассмотрим результаты для запусков программы, скомпилированной с OpenMP директивами.

Число процессоров p	Сетка $M \times N$	Время T (мин)	Ускорение S
128	500×1000	5.391	1
256	500×1000	3.214	1.68
512	500×1000	3.213	1.68
128	1000×1000	9.424	1
256	1000×1000	5.573	1.69
512	1000×1000	3.554	2.65
(локально, CG) 4	500×1000	8.905	0.61
(локально, CG) 4	1000×1000	11.094	0.85

Таблица 3: Результаты расчетов MPI+OpenMP версии на ПВС IBM Blue Gene/P

Для сравнения также приводится время, потраченное на локальном компьютере с 4 ядрами на тех же размерах сеток. Для корректности сравнения приведём результаты запуска метода сопряжённых градиентов на системе Blue Gene/P (см. 4, 5)

Число процессоров p	Сетка $M \times N$	Время T (мин)	Ускорение S
128	500×1000	0.824	1
256	500×1000	0.470	1.75
512	500×1000	0.470	1.75
128	1000×1000	1.856	1
256	1000×1000	1.053	1.76
512	1000×1000	0.608	3.05
(локально, CG) 4	500×1000	4.491	0.183
(локально, CG) 4	1000×1000	20.674	0.090

Таблица 4: Результаты расчетов MPI версии с CG на ПВС IBM Blue Gene/P

Число процессоров p	Сетка $M \times N$	Время T (мин)	Ускорение S
128	500×1000	5.742	1
256	500×1000	4.081	1.41
512	500×1000	3.089	1.86
128	1000×1000	0.422	1
256	1000×1000	0.310	1.36
512	1000×1000	3.495	0.121
(локально, CG) 4	500×1000	8.905	0.64
(локально, CG) 4	1000×1000	11.094	0.04

Таблица 5: Результаты расчетов MPI+OpenMP версии с CG на ПВС IBM Blue Gene/P

На системе ПВС IBM Polus с заданной точностью $1e - 6$ за 15 минут не удалось получить результаты по некоторым конфигурациям, поэтому проведено сравнение только метода с CG оптимизацией.

Число процессоров p	Сетка $M \times N$	Время T (мин)	Ускорение S
4	500×500	1.391	1
8	500×500	0.669	2.08
16	500×500	0.363	3.83
32	500×500	0.257	5.41
4	500×1000	4.569	1
8	500×1000	2.647	1.73
16	500×1000	1.465	3.12
32	500×1000	0.791	5.78
(локально, CG) 4	500×500	2.616	0.53
(локально, CG) 4	500×1000	4.491	1.02

Таблица 6: Таблица с результатами расчетов MPI версии (только CG) на ПВС IBM Polus

На основании таблиц 2 - 6 можно сделать следующие выводы.

На Blue Gene/P

- OpenMP версия показывает ускорение почти в два раза. Без указания директив *pragma* у параллельных циклов (результаты таблицы 2) нет должного ресурса параллелизма и при увеличении числа процессоров наблюдается увеличение времени.
- Реализация метода оптимизации сопряжённых направлений ускоряет вычисление в 5 раз (из сравнения 2 с 4)
- При добавлении директив OpenMP наблюдается увеличение времени работы. Особенно выделяется случай с 512 процессорами и сеткой размера 1000×1000 .

В случае прямоугольной сетки увеличение времени объясняется нарушением симметричности матрицы СЛАУ, что не позволяет воспользоваться преимуществами метода сопряжённых градиентов.

В случае с 512 процессорами увеличение времени работы можно объяснить тем, что размеры блоков (исходя из вывода 25 и дальнейшего алгоритма) различаются почти в 2 раза ($1000/32$ и $1000/16$), что является граничным случаем условий на домены и также нарушает симметрию.

На Polus

- Метод конечных разностей сходится явно дольше, чем на Blue Gene/P (наблюдалось достижение точности $6e-5$ только к 15 минуте подсчёта).
- Идеально демонстрируется ускорение за счёт взятия бóльшего числа процессоров (получение ускорения в 5-6 раз при взятии 32 процессоров).
- Вычислительная мощность на прямоугольной сетке совпадает (или даже уступает производительности ноутбука с приведённым выше описанием).

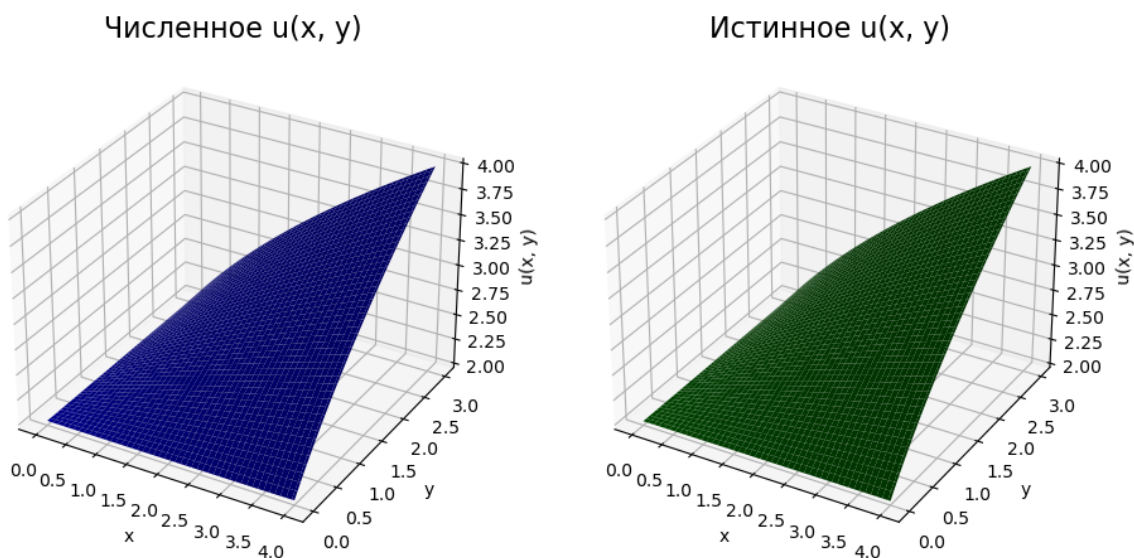


Рис. 1: Результат на сетке 500×1000

Итоговые результаты функций для сеток с наибольшим числом узлов приведены на рисунках 1, 2.

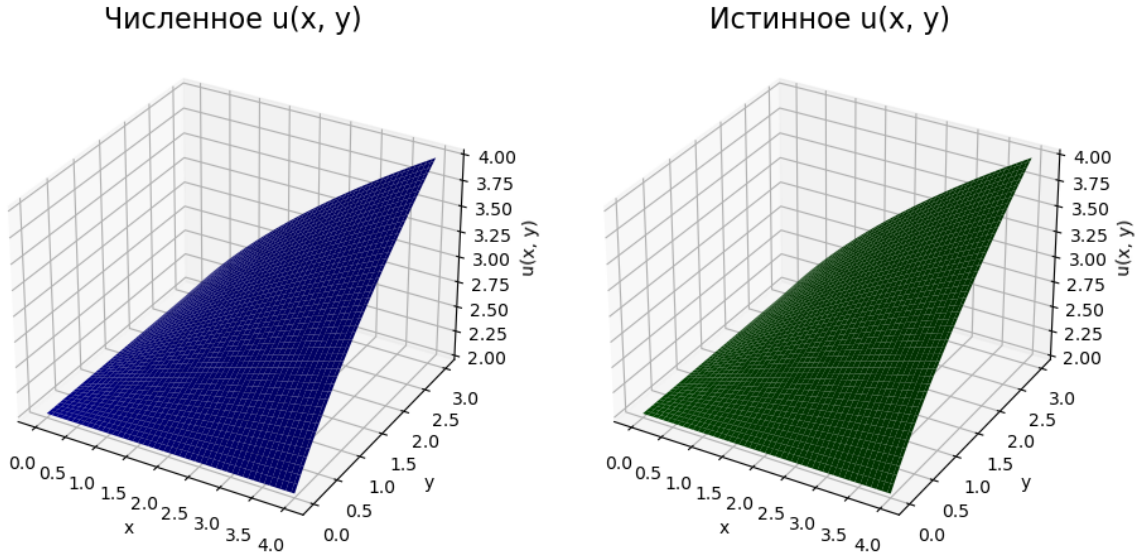


Рис. 2: Результат на сетке 1000×1000

6 Заключение

В ходе проведённых экспериментов была реализована программа для численного решения СЛАУ методом конечных разностей. Вычислительный эксперимент, с целью получения информативных результатов, дополнен сравнением с результатами, полученными методом сопряжённых градиентов и запуском на локальном компьютере.

Также описан аналитически метод, лежащий в основе разбиения на блоки `MPI_Cart_create`, получены аналитические выражения для правых частей и описана разностная схема.

Для представления результатов также использовались стандартные методы визуализации python, получающие на вход файлы, записанные каждым доменом (процессором) отдельно.

Осуществлена реализация CUDA, работающая на локальном компьютере, однако для данной реализации не было смысла приводить результаты локальной системы, а на суперкомпьютере с системой Polus не удалось получить работающего запуска.

7 Литература

Источники

- [1] Бахвалов Н.С., Жидков Н.П., Кобельков Г.М. ЧИСЛЕННЫЕ МЕТОДЫ. - М.: Наука, 1987.

8 Приложение 1. Код MPI программы

```
1 #include <stdio.h>
2 #include <stdlib.h>
3 #include "mpi.h"
4 #include <time.h>
5 #include <math.h>
6 #include <unistd.h>
7
8
9 void print_matrix(int M, int N, double (*A)[N+2]){
10     printf("Matrix:\n");
11     for (int i=N+1; i>=0; i--){
12         for (int j=0; j<=M+1; j++){
13             printf("%3.2f ", A[i][j]);
14         }
15         printf("\n");
16     }
17 }
18
19 void print_matrix_to_file(FILE *file,
20                           int M, int N,
21                           double (*A)[N+2]){
22     for (int i=N+1; i>=0; i--){
23         for (int j=0; j<=M+1; j++){
24             fprintf(file, "%g ", A[i][j]);
25         }
26         fprintf(file, "\n");
27     }
28 }
29
30 double u_2(double x, double y){
31     return sqrt(4 + x * y);
32 }
33
34 double k_3(double x, double y){
35     return 4 + x + y;
36 }
37
38 double q_2(double x, double y){
39     double sum = x + y;
40     if (sum < 0) {
41         return 0;
42     } else {
43         return sum;
44     }
45 }
46
47 double F(double x, double y){
48     return ((pow(x, 3) - x*x*(y - 4) - x*(y*y + 8) +
49             y*(y*y + 4*y - 8) + 4*q_2(x, y)*pow((4 + x*y), 2)) /
50             (4 * pow((4 + x*y), 1.5)));
51 }
52
53 double psi_R(double x, double y){
54     return (y*(4 + x + y) + 2*(4 + x*y)) / (2*sqrt(4 + x*y));
55 }
56
57
58 double psi_L(double x, double y){
59     return (-y*(4 + x + y) + 2*(4 + x*y)) / (2*sqrt(4 + x*y));
60 }
```

```

61
62
63 double psi_T(double x, double y){
64     return (x*(4 + x + y)) / (2*sqrt(4 + x*y));
65 }
66
67
68 double psi_B(double x, double y){
69     return -psi_T(x, y);
70 }
71
72 double rho_1(int i,
73             int M,
74             int left_border,
75             int right_border){
76     if ((left_border && i == 1) || (right_border && i == M))
77         return 0.5;
78     return 1;
79 }
80
81 double rho_2(int j,
82             int N,
83             int bottom_border,
84             int top_border){
85     if ((bottom_border && j == 1) || (top_border && j == N))
86         return 0.5;
87     return 1;
88 }
89
90 double dot_product(int M, int N,
91                   double (*U)[N + 2], double (*V)[N + 2],
92                   double h1, double h2,
93                   int left_border, int right_border,
94                   int top_border, int bottom_border
95                   ){
96     double answer = 0.;
97     double rho, r1, r2;
98
99     for (int i=1; i <= M; i++){
100         for (int j=1; j <= N; j++){
101             r1 = rho_1(i, M, left_border, right_border);
102             r2 = rho_2(j, N, bottom_border, top_border);
103             rho = r1 * r2;
104             answer += (rho * U[i][j] * V[i][j] * h1 * h2);
105         }
106     }
107     return answer;
108 }
109
110
111 double norm(int M, int N, double (*U)[N + 2],
112            double h1, double h2,
113            int left_border, int right_border,
114            int top_border, int bottom_border){
115     return sqrt(dot_product(M, N, U, U, h1, h2,
116                            left_border, right_border,
117                            top_border, bottom_border));
118 }
119
120
121 void B_right(int M, int N, double (*B)[N+2],
122             double h1, double h2,

```

```

123     double x_start, double y_start,
124     int left_border, int right_border,
125     int top_border, int bottom_border){
126 int i, j;
127
128 for(i = 0; i <= M + 1; i++)
129     for (j = 0; j <= N + 1; j++)
130         B[i][j] = F(x_start + (i - 1) * h1, y_start + (j - 1) * h2);
131
132 if (left_border){
133     for (j = 1; j <= N; j++) {
134         B[1][j] = (F(x_start, y_start + (j - 1) * h2) +
135             psi_L(x_start, y_start + (j - 1) * h2) * 2/h1);
136     }
137 }
138 if (right_border){
139     for (j = 1; j <= N; j++) {
140         B[M][j] = (F(x_start + (M - 1)*h1, y_start + (j - 1) * h2) +
141             psi_R(x_start + (M - 1)*h1, y_start + (j - 1) * h2) * 2/
142             h1);
143     }
144 }
145 if (top_border){
146     for (i = 1; i <= M; i++) {
147         B[i][N] = (F(x_start + (i - 1)*h1, y_start + (N - 1)*h2) +
148             psi_T(x_start + (i - 1)*h1, y_start + (N - 1)*h2) * 2/h2
149             );
150     }
151 }
152 if (bottom_border){
153     for (i = 1; i <= M; i++) {
154         B[i][1] = (F(x_start + (i - 1)*h1, y_start) +
155             psi_B(x_start + (i - 1)*h1, y_start) * 2/h2);
156     }
157 }
158 if (left_border && top_border){
159     B[1][N] = (F(x_start, y_start + (N - 1)*h2) +
160         (2/h1 + 2/h2) * (psi_L(x_start, y_start + (N - 1)*h2) +
161             psi_T(x_start, y_start + (N - 1)*h2)) / 2);
162 }
163 if (left_border && bottom_border){
164     B[1][1] = (F(x_start, y_start)
165         + (2/h1 + 2/h2) * (psi_L(x_start, y_start) + psi_B(x_start,
166             y_start)) / 2);
167 }
168 if (right_border && top_border){
169     B[M][N] = (F(x_start + (M - 1)*h1, y_start + (N - 1)*h2) +
170         (2/h1 + 2/h2) * (psi_R(x_start + (M - 1)*h1, y_start + (N - 1)
171             *h2) +
172             psi_T(x_start + (M - 1)*h1, y_start + (N - 1)*
173             h2)) / 2);
174 }
175 if (right_border && bottom_border){
176     B[M][1] = (F(x_start + (M - 1)*h1, y_start) +
177         (2/h1 + 2/h2) * (psi_R(x_start + (M - 1)*h1, y_start) +
178             psi_B(x_start + (M - 1)*h1, y_start)) / 2);
179 }
180 }
181
182 double aw_x_ij(int N,

```

```

180         double (*w)[N+2],
181         double x_start, double y_start,
182         int i, int j,
183         double h1, double h2
184     ){
185         return (1/h1) * (k_3(x_start + (i + 0.5 - 1) * h1, y_start + (j - 1) * h2)
186             * (w[i + 1][j] - w[i][j]) / h1
187             - k_3(x_start + (i - 0.5 - 1) * h1, y_start + (j - 1) * h2) *
188                 (w[i][j] - w[i - 1][j]) / h1);
189     }
190
191     double aw_ij(int N,
192         double (*w)[N+2],
193         double x_start, double y_start,
194         int i, int j,
195         double h1, double h2
196     ){
197         return (k_3(x_start + (i - 0.5 - 1) * h1, y_start + (j - 1) * h2) * (w[i][
198             j] - w[i - 1][j]) / h1);
199     }
200
201     double bw_y_ij(int N,
202         double (*w)[N+2],
203         double x_start, double y_start,
204         int i, int j,
205         double h1, double h2
206     ){
207         return (1/h2) * (k_3(x_start + (i - 1) * h1, y_start + (j + 0.5 - 1) * h2)
208             * (w[i][j + 1] - w[i][j]) / h2
209             - k_3(x_start + (i - 1) * h1, y_start + (j - 0.5 - 1) * h2) *
210                 (w[i][j] - w[i][j - 1]) / h2);
211     }
212
213     double bw_ij(int N,
214         double (*w)[N+2],
215         double x_start, double y_start,
216         int i, int j,
217         double h1, double h2
218     ){
219         return (k_3(x_start + (i - 1) * h1, y_start + (j - 0.5 - 1) * h2) * (w[i][
220             j] - w[i][j-1]) / h2);
221     }
222
223     void Aw_mult(int M, int N,
224         double (*A)[N+2], double (*w)[N+2],
225         double h1, double h2,
226         double x_start, double y_start,
227         int left_border, int right_border,
228         int top_border, int bottom_border
229     )
230     {
231         double aw_x, bw_y;
232         int i, j;
233         for (i = 0; i <= M+1; i++){
234             for (j = 0; j <= N+1; j++){
235                 if ((i == 0) || i == M+1 || j == 0 || j == N+1){
236                     A[i][j] = w[i][j];
237                 } else {
238                     aw_x = aw_x_ij(N, w, x_start, y_start, i, j, h1, h2);
239                     bw_y = bw_y_ij(N, w, x_start, y_start, i, j, h1, h2);
240                     A[i][j] = -aw_x - bw_y + q_2(x_start + (i - 1) * h1,
241                         y_start + (j - 1) * h2) * w[i][j];
242                 }
243             }
244         }
245     }

```



```

236     }
237 }
238 }
239
240 // Left interior border filling
241 if (left_border){
242     for (j = 1; j <= N; j++) {
243         aw_x = aw_ij(N, w, x_start, y_start, 2, j, h1, h2);
244         bw_y = bw_ij(N, w, x_start, y_start, 1, j, h1, h2);
245         A[1][j] = -2*aw_x / h1 - bw_y + (q_2(x_start,
246                                     y_start + (j - 1) * h2) + 2/h1) *
                                     w[1][j];
247     }
248 }
249
250 // Right interior border
251 if (right_border){
252     for (j = 1; j <= N; j++) {
253         aw_x = aw_ij(N, w, x_start, y_start, M, j, h1, h2);
254         bw_y = bw_ij(N, w, x_start, y_start, M, j, h1, h2);
255         A[M][j] = 2*aw_x / h1 - bw_y + (q_2(x_start + (M - 1) * h1,
256                                     y_start + (j - 1) * h2) + 2/h1) *
                                     w[M][j];
257     }
258 }
259
260 // Top border
261 if (top_border){
262     for (i = 1; i <= M; i++) {
263         aw_x = aw_x_ij(N, w, x_start, y_start, i, N, h1, h2);
264         bw_y = bw_ij(N, w, x_start, y_start, i, N, h1, h2);
265         A[i][N] = -aw_x + 2*bw_y / h2 + q_2(x_start + (i - 1) * h1,
266                                     y_start + (N - 1) * h2) * w[i][N];
267     }
268 }
269
270 // Bottom border
271 if (bottom_border){
272     for (i = 1; i <= M; i++) {
273         aw_x = aw_x_ij(N, w, x_start, y_start, i, 1, h1, h2);
274         bw_y = bw_ij(N, w, x_start, y_start, i, 2, h1, h2);
275         A[i][1] = -aw_x - 2*bw_y / h2 + q_2(x_start + (i - 1)* h1, y_start
276                                     ) * w[i][1];
277     }
278 }
279 if (left_border && bottom_border){
280     aw_x = aw_ij(N, w, x_start, y_start, 2, 1, h1, h2);
281     bw_y = bw_ij(N, w, x_start, y_start, 1, 2, h1, h2);
282     A[1][1] = -2*aw_x / h1 - 2*bw_y / h2 + (q_2(x_start, y_start) + 2/h1)
283             * w[1][1];
284 }
285 if (left_border && top_border){
286     aw_x = aw_ij(N, w, x_start, y_start, 2, N, h1, h2);
287     bw_y = bw_ij(N, w, x_start, y_start, 1, N, h1, h2);
288     A[1][N] = -2*aw_x / h1 + 2*bw_y / h2 + (q_2(x_start, y_start + (N - 1)
289             * h2) + 2/h1)* w[1][N];
290 }
291 if (right_border && bottom_border){
292     aw_x = aw_ij(N, w, x_start, y_start, M, 1, h1, h2);
293     bw_y = bw_ij(N, w, x_start, y_start, M, 2, h1, h2);

```

```

292     A[M][1] = 2*aw_x / h1 - 2 * bw_y / h2 + (q_2(x_start + (M - 1) * h1,
293         y_start) + 2/h1) * w[M][1];
294 }
295 if (right_border && top_border) {
296     aw_x = aw_ij(N, w, x_start, y_start, M, N, h1, h2);
297     bw_y = bw_ij(N, w, x_start, y_start, M, N, h1, h2);
298     A[M][N] = 2*aw_x / h1 + 2 * bw_y / h2 + (q_2(x_start + (M - 1) * h1,
299         y_start + (N - 1) * h2) + 2/
300         h1) * w[M][N];
301 }
302 }
303 void calculate_r(int M, int N,
304     double (*r)[N+2],
305     double (*Aw)[N+2],
306     double (*B)[N+2]
307 ){
308     int i, j;
309
310     for(i = 0; i <= M + 1; i++) {
311         for (j = 0; j <= N + 1; j++) {
312             if(i == 0 || i == M+1 || j == 0 || j == N+1)
313                 r[i][j] = 0;
314             else
315                 r[i][j] = Aw[i][j] - B[i][j];
316         }
317     }
318 }
319
320 void get_idx_n_idx(int *idx,
321     int *n_idx,
322     int process_amnt,
323     int grid_size,
324     int coordinate){
325     if (grid_size % process_amnt == 0) {
326         *n_idx = grid_size / process_amnt;
327         *idx = coordinate * (grid_size / process_amnt);
328     }
329     else
330     {
331         if (coordinate == 0){
332             *n_idx = grid_size % process_amnt + grid_size / process_amnt;
333             *idx = 0;
334         } else
335         {
336             *n_idx = grid_size / process_amnt;
337             *idx = grid_size % process_amnt + coordinate * (grid_size /
338                 process_amnt);
339         }
340     }
341 }
342
343 #define A1 0.0
344 #define A2 4.0
345 #define B1 0.0
346 #define B2 3.0
347 #define EPS_REL 1e-6
348 #define DOWN_TAG 1000
349 #define MAX_ITER 100000

```

```

351
352
353 void send_rcv_borders(int n_x, int n_y,
354                       const int process_amounts[2],
355                       double x_idx,
356                       double y_idx,
357                       const int my_coords[2],
358                       int tag,
359                       double (*w)[n_y+2],
360                       double b_send[n_x],
361                       double l_send[n_y],
362                       double t_send[n_x],
363                       double r_send[n_y],
364                       double b_rec[n_x],
365                       double l_rec[n_y],
366                       double t_rec[n_x],
367                       double r_rec[n_y],
368                       int left_border, int right_border,
369                       int top_border, int bottom_border,
370                       double h1, double h2,
371                       MPI_Comm MPI_COMM_CART
372                       ){
373
374     int i, j;
375     int neighbour_coords[2];
376     int neighbour_rank;
377     MPI_Request request[4] = {MPI_REQUEST_NULL, MPI_REQUEST_NULL,
378                               MPI_REQUEST_NULL, MPI_REQUEST_NULL};
379     MPI_Status status;
380
381     // Bottom border send
382     if ((process_amounts[1] > 1) && !bottom_border) {
383       for (i = 0; i < n_x; i++)
384         b_send[i] = w[i+1][1];
385
386       neighbour_coords[0] = my_coords[0];
387       neighbour_coords[1] = my_coords[1] - 1;
388
389       MPI_Cart_rank(MPI_COMM_CART, neighbour_coords, &neighbour_rank);
390       MPI_Isend(b_send, n_x, MPI_DOUBLE,
391                neighbour_rank, tag + DOWN_TAG,
392                MPI_COMM_CART, &request[0]);
393     }
394
395     // Left border send
396     if ((process_amounts[0] > 1) && !left_border) {
397       for (j = 0; j < n_y; j++)
398         l_send[j] = w[1][j+1];
399
400       neighbour_coords[0] = my_coords[0] - 1;
401       neighbour_coords[1] = my_coords[1];
402
403       MPI_Cart_rank(MPI_COMM_CART, neighbour_coords, &neighbour_rank);
404       MPI_Isend(l_send, n_y, MPI_DOUBLE,
405                neighbour_rank, tag,
406                MPI_COMM_CART, &request[1]);
407     }
408
409     // Top border
410     if ((process_amounts[1] > 1) && !top_border) {
411       for (i = 0; i < n_x; i++)
412         t_send[i] = w[i+1][n_y];

```

```

412     neighbour_coords[0] = my_coords[0];
413     neighbour_coords[1] = my_coords[1] + 1;
414
415     MPI_Cart_rank(MPI_COMM_CART, neighbour_coords, &neighbour_rank);
416     MPI_Isend(t_send, n_x, MPI_DOUBLE,
417              neighbour_rank, tag,
418              MPI_COMM_CART, &request[2]);
419 }
420
421 // Right border
422 if ((process_amounts[0] > 1) && !right_border) {
423     for (j = 0; j < n_y; j++)
424         r_send[j] = w[n_x][j+1];
425
426     neighbour_coords[0] = my_coords[0] + 1;
427     neighbour_coords[1] = my_coords[1];
428
429     MPI_Cart_rank(MPI_COMM_CART, neighbour_coords, &neighbour_rank);
430     MPI_Isend(r_send, n_y, MPI_DOUBLE,
431              neighbour_rank, tag,
432              MPI_COMM_CART, &request[3]);
433 }
434
435 // Receive borders
436 // Bottom border
437 if ((bottom_border && (process_amounts[1] > 1)) || (process_amounts[1] ==
438     1)) {
439     for (i = 1; i <= n_x; i++)
440         w[i][0] = u_2(A1 + (x_idx + i - 1) * h1, B1 + (y_idx - 1) * h2);
441 } else {
442     neighbour_coords[0] = my_coords[0];
443     neighbour_coords[1] = my_coords[1] - 1;
444     MPI_Cart_rank(MPI_COMM_CART, neighbour_coords, &neighbour_rank);
445     MPI_Recv(b_rec, n_x, MPI_DOUBLE,
446             neighbour_rank, tag, MPI_COMM_CART, &status);
447
448     for (i = 1; i <= n_x; i++)
449         w[i][0] = b_rec[i - 1];
450 }
451
452 // Left border
453 if ((left_border && (process_amounts[0] > 1)) || (process_amounts[0] ==
454     1)) {
455     for (j = 1; j <= n_y; j++){
456         w[0][j] = u_2(A1 + (x_idx - 1) * h1, B1 + (y_idx + j - 1) * h2);
457     }
458 } else {
459     neighbour_coords[0] = my_coords[0] - 1;
460     neighbour_coords[1] = my_coords[1];
461
462     MPI_Cart_rank(MPI_COMM_CART, neighbour_coords, &neighbour_rank);
463     MPI_Recv(l_rec, n_y, MPI_DOUBLE,
464             neighbour_rank, tag, MPI_COMM_CART, &status);
465
466     for (j = 1; j <= n_y; j++)
467         w[0][j] = l_rec[j - 1];
468 }
469
470 // Top border

```

```

471     if ((top_border && (process_amounts[1] > 1)) || (process_amounts[1] == 1)
472         ) {
473         for (i = 1; i <= n_x; i++)
474             w[i][n_y + 1] = u_2(A1 + (x_idx + i - 1) * h1,
475                                B1 + (y_idx + n_y) * h2);
476     } else {
477         neighbour_coords[0] = my_coords[0];
478         neighbour_coords[1] = my_coords[1] + 1;
479         MPI_Cart_rank(MPI_COMM_CART, neighbour_coords, &neighbour_rank);
480         MPI_Recv(t_rec, n_x, MPI_DOUBLE,
481                  neighbour_rank, tag + DOWN_TAG,
482                  MPI_COMM_CART, &status);
483
484         for (i = 1; i <= n_x; i++)
485             w[i][n_y + 1] = t_rec[i - 1];
486     }
487
488     // Right border
489     if ((right_border && (process_amounts[0] > 1)) || (process_amounts[0] ==
490         1)) {
491         for (j = 1; j <= n_y; j++)
492             w[n_x + 1][j] = u_2(A1 + (x_idx + n_x)*h1, B1 + (y_idx + j - 1) *
493                                h2);
494     } else {
495         neighbour_coords[0] = my_coords[0] + 1;
496         neighbour_coords[1] = my_coords[1];
497         MPI_Cart_rank(MPI_COMM_CART, neighbour_coords, &neighbour_rank);
498         MPI_Recv(r_rec, n_y, MPI_DOUBLE,
499                  neighbour_rank, tag, MPI_COMM_CART, &status);
500
501         for (j = 1; j <= n_y; j++)
502             w[n_x + 1][j] = r_rec[j - 1];
503     }
504
505     for (int i = 0; i < 4; i++) {
506         MPI_Wait(&request[i], &status);
507     }
508
509     int main(int argc, char *argv[]) {
510         if (argc != 3) {
511             printf("Program receive %d numbers. Should be 2: M, N\n", argc);
512             return -1;
513         }
514
515         int M = atoi(argv[argc - 2]);
516         int N = atoi(argv[argc - 1]);
517         if ((M <= 0) || (N <= 0)) {
518             printf("M and N should be integer and > 0!!!\n");
519             return -1;
520         }
521         printf("M = %d, N = %d\n", M, N);
522
523         int my_rank;
524         int n_processes;
525         int process_amounts[2] = {0, 0};
526         int write[1] = {0};
527
528         double h1 = (A2 - A1) / M;
529         double h2 = (B2 - B1) / N;
530         double cur_eps = 1.0;

```

```

530 MPI_Init(&argc, &argv);
531 MPI_Status status;
532 MPI_Request request;
533
534 // For the cartesian topology
535 MPI_Comm MPI_COMM_CART;
536 MPI_Comm_rank(MPI_COMM_WORLD, &my_rank);
537 MPI_Comm_size(MPI_COMM_WORLD, &n_processes);
538
539 // Creating rectangular supports
540 MPI_Dims_create(n_processes, 2, process_amounts);
541
542 printf("p_x = %d, p_y = %d\n", process_amounts[0], process_amounts[1]);
543 int periods[2] = {0, 0};
544
545 // Create cartesian topology in communicator
546 MPI_Cart_create(MPI_COMM_WORLD, 2,
547                process_amounts, periods,
548                1, &MPI_COMM_CART);
549
550 int my_coords[2];
551 // Receive corresponding to rank process coordinates
552 MPI_Cart_coords(MPI_COMM_CART, my_rank, 2, my_coords);
553
554 int x_idx, n_x;
555 get_idx_n_idx(&x_idx, &n_x, process_amounts[0], M+1, my_coords[0]);
556
557 int y_idx, n_y;
558 get_idx_n_idx(&y_idx, &n_y, process_amounts[1], N+1, my_coords[1]);
559
560 double start_time = MPI_Wtime();
561
562 // Create each block of size n_x and n_y with borders
563 double *t_send = malloc(sizeof(double[n_x]));
564 double *t_rec = malloc(sizeof(double[n_x]));
565 double *b_send = malloc(sizeof(double[n_x]));
566 double *b_rec = malloc(sizeof(double[n_x]));
567
568 double *l_send = malloc(sizeof(double[n_y]));
569 double *l_rec = malloc(sizeof(double[n_y]));
570 double *r_send = malloc(sizeof(double[n_y]));
571 double *r_rec = malloc(sizeof(double[n_y]));
572
573 int i, j;
574 int n_iters = 0;
575 double block_eps;
576
577 double (*w)[n_y + 2] = malloc(sizeof(double[n_x + 2][n_y + 2]));
578 double (*w_pr)[n_y + 2] = malloc(sizeof(double[n_x + 2][n_y + 2]));
579 double (*B)[n_y + 2] = malloc(sizeof(double[n_x + 2][n_y + 2]));
580 double tau = 0;
581 double global_tau = 0;
582 // double alpha_k, beta_k;
583 double denominator;
584 double whole_denum;
585 double global_alpha, global_beta;
586 double eps_local, eps_r;
587
588 double (*Aw)[n_y + 2] = malloc(sizeof(double[n_x + 2][n_y + 2]));
589 double (*r_k)[n_y + 2] = malloc(sizeof(double[n_x + 2][n_y + 2]));
590 double (*Ar)[n_y + 2] = malloc(sizeof(double[n_x + 2][n_y + 2]));
591 double (*w_w_pr)[n_y + 2] = malloc(sizeof(double[n_x + 2][n_y + 2]));

```

```

592
593 int left_border = 0;
594 int top_border = 0;
595 int right_border = 0;
596 int bottom_border = 0;
597
598
599 if (my_coords[0] == 0)
600     left_border = 1;
601
602 if (my_coords[0] == (process_amounts[0] - 1))
603     right_border = 1;
604
605 if (my_coords[1] == 0)
606     bottom_border = 1;
607
608 if (my_coords[1] == (process_amounts[1] - 1))
609     top_border = 1;
610
611 printf("L%d, R%d, T%d, B%d, 'x'%d, 'y'%d\n",
612        left_border, right_border, top_border, bottom_border, my_coords[0],
613        my_coords[1]);
614 printf("%d %d\n", x_idx, y_idx);
615
616 double (*Au)[n_y + 2] = malloc(sizeof(double[n_x + 2][n_y + 2]));
617 double (*U)[n_y + 2] = malloc(sizeof(double[n_x + 2][n_y + 2]));
618 for (i = 0; i <= n_x + 1; i++)
619     for (j = 0; j <= n_y + 1; j++)
620         U[i][j] = u_2(A1 + (x_idx + i - 1) * h1, B1 + (y_idx + j - 1) * h2
621            );
622
623 Aw_mult(n_x, n_y, Au, U, h1, h2,
624         A1 + x_idx * h1, B1 + y_idx * h2,
625         left_border, right_border,
626         top_border, bottom_border);
627
628 B_right(n_x, n_y, B,
629         h1, h2,
630         A1 + x_idx * h1,
631         B1 + y_idx * h2,
632         left_border, right_border,
633         top_border, bottom_border);
634
635 double error_mean = 0;
636 int amnt = 0;
637 for (i = 1; i <= n_x; i++)
638     for (j = 1; j <= n_y; j++){
639         error_mean += fabs(Au[i][j] - B[i][j]);
640         amnt += 1;
641     }
642 printf("ERROR FROM B = %3.2f\n", error_mean / amnt);
643
644 for (i = 0; i <= n_x + 1; i++)
645     for (j = 0; j <= n_y + 1; j++)
646         w[i][j] = 0; // u_2(A1 + (x_idx + i - 1) * h1, B1 + (y_idx + j -
647            1) * h2);
648
649 int tag = 0;
650 while ((cur_eps > EPS_REL) && (n_iters < MAX_ITER)) {
651     if (my_rank == 0) {
652         if (n_iters % 1000 == 0)
653             printf("%g \n", cur_eps);

```

```

651     }
652     n_iters++;
653
654     for (i = 0; i <= n_x + 1; i++) {
655         for (j = 0; j <= n_y + 1; j++) {
656             if (i == 0 || j == 0 || i == n_x + 1 || j == n_y + 1) {
657                 w_pr[i][j] = 0;
658             } else {
659                 w_pr[i][j] = w[i][j];
660             }
661         }
662     }
663
664     send_recv_borders(n_x, n_y, process_amounts,
665                     x_idx, y_idx, my_coords, tag,
666                     w,
667                     b_send, l_send, t_send, r_send,
668                     b_rec, l_rec, t_rec, r_rec,
669                     left_border, right_border,
670                     top_border, bottom_border,
671                     h1, h2, MPI_COMM_CART);
672
673     Aw_mult(n_x, n_y,
674            Aw, w,
675            h1, h2,
676            A1 + x_idx * h1, B1 + y_idx * h2,
677            left_border, right_border,
678            top_border, bottom_border);
679
680     calculate_r(n_x, n_y, r_k, Aw, B);
681
682     send_recv_borders(n_x, n_y, process_amounts,
683                     x_idx, y_idx, my_coords, tag,
684                     r_k,
685                     b_send, l_send, t_send, r_send,
686                     b_rec, l_rec, t_rec, r_rec,
687                     left_border, right_border,
688                     top_border, bottom_border,
689                     h1, h2, MPI_COMM_CART);
690
691     Aw_mult(n_x, n_y,
692            Ar, r_k,
693            h1, h2,
694            A1 + x_idx * h1, B1 + y_idx * h2,
695            left_border, right_border,
696            top_border, bottom_border);
697
698     tau = dot_product(n_x, n_y, Ar, r_k, h1, h2,
699                     left_border, right_border,
700                     top_border, bottom_border
701                     );
702     denominator = dot_product(n_x, n_y, Ar, Ar, h1, h2,
703                             left_border, right_border,
704                             top_border, bottom_border);
705     MPI_Allreduce(&tau, &global_tau, 1,
706                 MPI_DOUBLE, MPI_SUM, MPI_COMM_CART);
707     MPI_Allreduce(&denominator, &whole_denum, 1,
708                 MPI_DOUBLE, MPI_SUM, MPI_COMM_CART);
709     global_tau = global_tau / whole_denum;
710
711
712     for (i = 1; i <= n_x; i++)

```



```

713         for (j = 1; j <= n_y; j++) {
714             w[i][j] = w[i][j] - global_tau * r_k[i][j];
715         }
716
717         calculate_r(n_x, n_y, w_w_pr, w, w_pr);
718         block_eps = norm(n_x, n_y, w_w_pr, h1, h2,
719                         left_border, right_border,
720                         top_border, bottom_border);
721
722         MPI_Allreduce(&block_eps, &cur_eps, 1,
723                     MPI_DOUBLE, MPI_SUM, MPI_COMM_CART);
724     }
725
726     // Waiting for all processes
727     MPI_Barrier(MPI_COMM_WORLD);
728     double end_time = MPI_Wtime();
729
730     if (my_rank != 0) {
731         MPI_Recv(write, 1, MPI_INT, my_rank - 1, 0, MPI_COMM_WORLD, &status);
732     } else {
733         printf("TIME = %f\n", end_time - start_time);
734         printf("Number of iterations = %d\n", n_iters);
735         printf("Tau = %f\n", tau);
736         printf("Eps = %f\n", EPS_REL);
737     }
738
739     // usleep(500);
740     if (my_rank != n_processes - 1)
741         MPI_Send(write, 1, MPI_INT, my_rank + 1, 0, MPI_COMM_WORLD);
742
743     FILE *dim0, *dim1, *grid, *u_file, *true_u_file;
744     char u_file_name[FILENAME_MAX];
745     sprintf(u_file_name, "u_%d_%d.csv", my_coords[0], my_coords[1]);
746     char true_u_file_name[FILENAME_MAX];
747     sprintf(true_u_file_name, "true.u_%d_%d.csv", my_coords[0], my_coords[1])
748         ;
749
750     dim0 = fopen("dim0.csv", "w");
751     dim1 = fopen("dim1.csv", "w");
752     grid = fopen("grid.csv", "w");
753     u_file = fopen(u_file_name, "w");
754     true_u_file = fopen(true_u_file_name, "w");
755
756     for (int j = y_idx; j < y_idx + n_y; j++) {
757         for (int i = x_idx; i < x_idx + n_x; i++) {
758             fprintf(u_file, "%g ", w[i - x_idx + 1][j - y_idx + 1]);
759             fprintf(true_u_file, "%g ", u_2(A1 + i*h1, B1 + j*h2));
760         }
761         fprintf(u_file, "\n");
762         fprintf(true_u_file, "\n");
763     }
764
765     if (my_rank == 0) {
766         for (int j = 0; j <= N; j++) {
767             fprintf(dim0, "%g ", B1 + j*h2);
768         }
769
770         for (int i = 0; i <= M; i++) {
771             fprintf(dim1, "%g ", A1 + i*h1);
772         }
773         fprintf(grid, "%d %d", process_amounts[1], process_amounts[0]);

```

```

774     }
775     fclose(dim0);
776     fclose(dim1);
777     fclose(grid);
778     fclose(u_file);
779     fclose(true_u_file);
780
781     free(Au);
782     free(U);
783     free(w);
784     free(w_pr);
785     free(B);
786     free(Ar);
787     free(r_k);
788     free(Aw);
789     free(w_w_pr);
790
791     free(t_send);
792     free(t_rec);
793     free(b_send);
794     free(b_rec);
795     free(r_send);
796     free(r_rec);
797     free(l_send);
798     free(l_rec);
799     MPI_Finalize();
800     return 0;
801 }

```

Листинг 1: neyman_pde_mpi.c

9 Приложение 2. Код MPI программы с оптимизацией сопряжёнными градиентами

```

1  #include <stdio.h>
2  #include <stdlib.h>
3  #include "mpi.h"
4  #include <time.h>
5  #include <math.h>
6  #include <unistd.h>
7
8
9  void print_matrix(int M, int N, double (*A)[N+2]){
10     printf("Matrix:\n");
11     for (int i=N+1; i>=0; i--){
12         for (int j=0; j<=M+1; j++){
13             printf("%3.2f ", A[i][j]);
14         }
15         printf("\n");
16     }
17 }
18
19 void print_matrix_to_file(FILE *file,
20                          int M, int N,
21                          double (*A)[N+2]){
22     for (int i=N+1; i>=0; i--){
23         for (int j=0; j<=M+1; j++){

```

```

24         fprintf(file, "%g ", A[i][j]);
25     }
26     fprintf(file, "\n");
27 }
28 }
29
30 double u_2(double x, double y){
31     return sqrt(4 + x * y);
32 }
33
34 double k_3(double x, double y){
35     return 4 + x + y;
36 }
37
38 double q_2(double x, double y){
39     double sum = x + y;
40     if (sum < 0) {
41         return 0;
42     } else {
43         return sum;
44     }
45 }
46
47 double F(double x, double y){
48     return ((pow(x, 3) - x*x*(y - 4) - x*(y*y + 8) +
49     y*(y*y + 4*y - 8) + 4*q_2(x, y)*pow((4 + x*y), 2)) /
50     (4 * pow((4 + x*y), 1.5)));
51 }
52
53 double psi_R(double x, double y){
54     return (y*(4 + x + y) + 2*(4 + x*y)) / (2*sqrt(4 + x*y));
55 }
56
57
58 double psi_L(double x, double y){
59     return (-y*(4 + x + y) + 2*(4 + x*y)) / (2*sqrt(4 + x*y));
60 }
61
62
63 double psi_T(double x, double y){
64     return (x*(4 + x + y)) / (2*sqrt(4 + x*y));
65 }
66
67
68 double psi_B(double x, double y){
69     return -psi_T(x, y);
70 }
71
72 double rho_1(int i,
73             int M,
74             int left_border,
75             int right_border){
76     if ((left_border && i == 1) || (right_border && i == M))
77         return 0.5;
78     return 1;
79 }
80
81 double rho_2(int j,
82             int N,
83             int bottom_border,
84             int top_border){
85     if ((bottom_border && j == 1) || (top_border && j == N))

```

```

86         return 0.5;
87     return 1;
88 }
89
90 double dot_product(int M, int N,
91                   double (*U)[N + 2], double (*V)[N + 2],
92                   double h1, double h2,
93                   int left_border, int right_border,
94                   int top_border, int bottom_border
95                   ){
96     double answer = 0.;
97     double rho, r1, r2;
98
99     for (int i=1; i <= M; i++){
100         for (int j=1; j <= N; j++){
101             r1 = rho_1(i, M, left_border, right_border);
102             r2 = rho_2(j, N, bottom_border, top_border);
103             rho = r1 * r2;
104             answer += (rho * U[i][j] * V[i][j] * h1 * h2);
105         }
106     }
107     return answer;
108 }
109
110
111 double norm(int M, int N, double (*U)[N + 2],
112            double h1, double h2,
113            int left_border, int right_border,
114            int top_border, int bottom_border){
115     return sqrt(dot_product(M, N, U, U, h1, h2,
116                            left_border, right_border,
117                            top_border, bottom_border));
118 }
119
120
121 void B_right(int M, int N, double (*B)[N+2],
122             double h1, double h2,
123             double x_start, double y_start,
124             int left_border, int right_border,
125             int top_border, int bottom_border){
126     int i, j;
127
128     for(i = 0; i <= M + 1; i++)
129         for (j = 0; j <= N + 1; j++)
130             B[i][j] = F(x_start + (i - 1) * h1, y_start + (j - 1) * h2);
131
132     if (left_border){
133         for (j = 1; j <= N; j++) {
134             B[1][j] = (F(x_start, y_start + (j - 1) * h2) +
135                       psi_L(x_start, y_start + (j - 1) * h2) * 2/h1);
136         }
137     }
138     if (right_border){
139         for (j = 1; j <= N; j++) {
140             B[M][j] = (F(x_start + (M - 1)*h1, y_start + (j - 1) * h2) +
141                       psi_R(x_start + (M - 1)*h1, y_start + (j - 1) * h2) * 2/
142                          h1);
143         }
144     }
145     if (top_border){
146         for (i = 1; i <= M; i++) {
147             B[i][N] = (F(x_start + (i - 1)*h1, y_start + (N - 1)*h2) +

```

```

147         psi_T(x_start + (i - 1)*h1, y_start + (N - 1)*h2) * 2/h2
148     );
149 }
150
151 if (bottom_border){
152     for (i = 1; i <= M; i++) {
153         B[i][1] = (F(x_start + (i - 1)*h1, y_start) +
154             psi_B(x_start + (i - 1)*h1, y_start) * 2/h2);
155     }
156 }
157 if (left_border && top_border){
158     B[1][N] = (F(x_start, y_start + (N - 1)*h2) +
159         (2/h1 + 2/h2) * (psi_L(x_start, y_start + (N - 1)*h2) +
160             psi_T(x_start, y_start + (N - 1)*h2)) / 2);
161 }
162 if (left_border && bottom_border){
163     B[1][1] = (F(x_start, y_start)
164         + (2/h1 + 2/h2) * (psi_L(x_start, y_start) + psi_B(x_start,
165             y_start)) / 2);
166 }
167 if (right_border && top_border){
168     B[M][N] = (F(x_start + (M - 1)*h1, y_start + (N - 1)*h2) +
169         (2/h1 + 2/h2) * (psi_R(x_start + (M - 1)*h1, y_start + (N - 1)
170             *h2) +
171             psi_T(x_start + (M - 1)*h1, y_start + (N - 1)*
172                 h2)) / 2);
173 }
174 if (right_border && bottom_border){
175     B[M][1] = (F(x_start + (M - 1)*h1, y_start) +
176         (2/h1 + 2/h2) * (psi_R(x_start + (M - 1)*h1, y_start) +
177             psi_B(x_start + (M - 1)*h1, y_start)) / 2);
178 }
179 }
180
181 double aw_x_ij(int N,
182     double (*w)[N+2],
183     double x_start, double y_start,
184     int i, int j,
185     double h1, double h2
186 ){
187     return (1/h1) * (k_3(x_start + (i + 0.5 - 1) * h1, y_start + (j - 1) * h2)
188         * (w[i + 1][j] - w[i][j]) / h1
189         - k_3(x_start + (i - 0.5 - 1) * h1, y_start + (j - 1) * h2) *
190             (w[i][j] - w[i - 1][j]) / h1);
191 }
192
193 double aw_ij(int N,
194     double (*w)[N+2],
195     double x_start, double y_start,
196     int i, int j,
197     double h1, double h2
198 ){
199     return (k_3(x_start + (i - 0.5 - 1) * h1, y_start + (j - 1) * h2) * (w[i][
200         j] - w[i - 1][j]) / h1);
201 }
202
203 double bw_y_ij(int N,
204     double (*w)[N+2],
205     double x_start, double y_start,
206     int i, int j,

```

```

202         double h1, double h2
203     ){
204         return (1/h2) * (k_3(x_start + (i - 1) * h1, y_start + (j + 0.5 - 1) * h2)
205             * (w[i][j + 1] - w[i][j]) / h2
206             - k_3(x_start + (i - 1) * h1, y_start + (j - 0.5 - 1) * h2) *
207                 (w[i][j] - w[i][j - 1]) / h2);
208     }
209
210     double bw_ij(int N,
211         double (*w)[N+2],
212         double x_start, double y_start,
213         int i, int j,
214         double h1, double h2
215     ){
216         return (k_3(x_start + (i - 1) * h1, y_start + (j - 0.5 - 1) * h2) * (w[i][
217             j] - w[i][j-1]) / h2);
218     }
219
220     void Aw_mult(int M, int N,
221         double (*A)[N+2], double (*w)[N+2],
222         double h1, double h2,
223         double x_start, double y_start,
224         int left_border, int right_border,
225         int top_border, int bottom_border
226     )
227     {
228         double aw_x, bw_y;
229         int i, j;
230         for (i = 0; i <= M+1; i++){
231             for (j = 0; j <= N+1; j++) {
232                 if ((i == 0) || i == M+1 || j == 0 || j == N+1){
233                     A[i][j] = w[i][j];
234                 } else {
235                     aw_x = aw_x_ij(N, w, x_start, y_start, i, j, h1, h2);
236                     bw_y = bw_y_ij(N, w, x_start, y_start, i, j, h1, h2);
237                     A[i][j] = -aw_x - bw_y + q_2(x_start + (i - 1) * h1,
238                         y_start + (j - 1) * h2) * w[i][j];
239                 }
240             }
241         }
242
243         // Left interior border filling
244         if (left_border){
245             for (j = 1; j <= N; j++) {
246                 aw_x = aw_ij(N, w, x_start, y_start, 2, j, h1, h2);
247                 bw_y = bw_y_ij(N, w, x_start, y_start, 1, j, h1, h2);
248                 A[1][j] = -2*aw_x / h1 - bw_y + (q_2(x_start,
249                     y_start + (j - 1) * h2) + 2/h1) *
250                     w[1][j];
251             }
252         }
253
254         // Right interior border
255         if (right_border){
256             for (j = 1; j <= N; j++) {
257                 aw_x = aw_ij(N, w, x_start, y_start, M, j, h1, h2);
258                 bw_y = bw_y_ij(N, w, x_start, y_start, M, j, h1, h2);
259                 A[M][j] = 2*aw_x / h1 - bw_y + (q_2(x_start + (M - 1) * h1,
260                     y_start + (j - 1) * h2) + 2/h1) *
261                     w[M][j];
262             }
263         }
264     }

```

```

259
260 // Top border
261 if (top_border){
262     for (i = 1; i <= M; i++) {
263         aw_x = aw_ij(N, w, x_start, y_start, i, N, h1, h2);
264         bw_y = bw_ij(N, w, x_start, y_start, i, N, h1, h2);
265         A[i][N] = -aw_x + 2*bw_y / h2 + q_2(x_start + (i - 1) * h1,
266                                             y_start + (N - 1) * h2) * w[i][N];
267     }
268 }
269
270 // Bottom border
271 if (bottom_border){
272     for (i = 1; i <= M; i++) {
273         aw_x = aw_ij(N, w, x_start, y_start, i, 1, h1, h2);
274         bw_y = bw_ij(N, w, x_start, y_start, i, 2, h1, h2);
275         A[i][1] = -aw_x - 2*bw_y / h2 + q_2(x_start + (i - 1)* h1, y_start
276                                             ) * w[i][1];
277     }
278 }
279 if (left_border && bottom_border){
280     aw_x = aw_ij(N, w, x_start, y_start, 2, 1, h1, h2);
281     bw_y = bw_ij(N, w, x_start, y_start, 1, 2, h1, h2);
282     A[1][1] = -2*aw_x / h1 - 2*bw_y / h2 + (q_2(x_start, y_start) + 2/h1)
283         * w[1][1];
284 }
285 if (left_border && top_border){
286     aw_x = aw_ij(N, w, x_start, y_start, 2, N, h1, h2);
287     bw_y = bw_ij(N, w, x_start, y_start, 1, N, h1, h2);
288     A[1][N] = -2*aw_x / h1 + 2*bw_y / h2 + (q_2(x_start, y_start + (N - 1)
289         * h2) + 2/h1)* w[1][N];
290 }
291 if (right_border && bottom_border){
292     aw_x = aw_ij(N, w, x_start, y_start, M, 1, h1, h2);
293     bw_y = bw_ij(N, w, x_start, y_start, M, 2, h1, h2);
294     A[M][1] = 2*aw_x / h1 - 2 * bw_y / h2 + (q_2(x_start + (M - 1) * h1,
295         y_start) + 2/h1) * w[M][1];
296 }
297 if (right_border && top_border) {
298     aw_x = aw_ij(N, w, x_start, y_start, M, N, h1, h2);
299     bw_y = bw_ij(N, w, x_start, y_start, M, N, h1, h2);
300     A[M][N] = 2*aw_x / h1 + 2 * bw_y / h2 + (q_2(x_start + (M - 1) * h1,
301         y_start + (N - 1) * h2) + 2/
302         h1) * w[M][N];
303 }
304 }
305
306 void calculate_r(int M, int N,
307                 double (*r)[N+2],
308                 double (*Aw)[N+2],
309                 double (*B)[N+2]
310 ){
311     int i, j;
312     for(i = 0; i <= M + 1; i++) {
313         for (j = 0; j <= N + 1; j++) {
314             if(i == 0 || i == M+1 || j == 0 || j == N+1)
315                 r[i][j] = 0;
316             else
317                 r[i][j] = Aw[i][j] - B[i][j];
318         }
319     }
320 }

```

```

316     }
317 }
318 }
319
320
321 void get_idx_n_idx(int *idx,
322                   int *n_idx,
323                   int process_amnt,
324                   int grid_size,
325                   int coordinate){
326     if (grid_size % process_amnt == 0) {
327         *n_idx = grid_size / process_amnt;
328         *idx = coordinate * (grid_size / process_amnt);
329     }
330     else
331     {
332         if (coordinate == 0){
333             *n_idx = grid_size % process_amnt + grid_size / process_amnt;
334             *idx = 0;
335         } else
336         {
337             *n_idx = grid_size / process_amnt;
338             *idx = grid_size % process_amnt + coordinate * (grid_size /
339                 process_amnt);
340         }
341     }
342 }
343
344 #define A1 0.0
345 #define A2 4.0
346 #define B1 0.0
347 #define B2 3.0
348 #define EPS_REL 1e-6
349 #define DOWN_TAG 1000
350 #define MAX_ITER 100000
351
352
353 void send_rcv_borders(int n_x, int n_y,
354                      const int process_amounts[2],
355                      double x_idx,
356                      double y_idx,
357                      const int my_coords[2],
358                      int tag,
359                      double (*w)[n_y+2],
360                      double b_send[n_x],
361                      double l_send[n_y],
362                      double t_send[n_x],
363                      double r_send[n_y],
364                      double b_rec[n_x],
365                      double l_rec[n_y],
366                      double t_rec[n_x],
367                      double r_rec[n_y],
368                      int left_border, int right_border,
369                      int top_border, int bottom_border,
370                      double h1, double h2,
371                      MPI_Comm MPI_COMM_CART
372 ){
373
374     int i, j;
375     int neighbour_coords[2];
376     int neighbour_rank;

```



```

377 MPI_Request request[4] = {MPI_REQUEST_NULL, MPI_REQUEST_NULL,
378 MPI_REQUEST_NULL, MPI_REQUEST_NULL};
379 MPI_Status status;
380
381 // Bottom border send
382 if ((process_amounts[1] > 1) && !bottom_border) {
383     for (i = 0; i < n_x; i++)
384         b_send[i] = w[i+1][1];
385
386     neighbour_coords[0] = my_coords[0];
387     neighbour_coords[1] = my_coords[1] - 1;
388
389     MPI_Cart_rank(MPI_COMM_CART, neighbour_coords, &neighbour_rank);
390     MPI_Isend(b_send, n_x, MPI_DOUBLE,
391             neighbour_rank, tag + DOWN_TAG,
392             MPI_COMM_CART, &request[0]);
393 }
394
395 // Left border send
396 if ((process_amounts[0] > 1) && !left_border) {
397     for (j = 0; j < n_y; j++)
398         l_send[j] = w[1][j+1];
399
400     neighbour_coords[0] = my_coords[0] - 1;
401     neighbour_coords[1] = my_coords[1];
402
403     MPI_Cart_rank(MPI_COMM_CART, neighbour_coords, &neighbour_rank);
404     MPI_Isend(l_send, n_y, MPI_DOUBLE,
405             neighbour_rank, tag,
406             MPI_COMM_CART, &request[1]);
407 }
408
409 // Top border
410 if ((process_amounts[1] > 1) && !top_border) {
411     for (i = 0; i < n_x; i++)
412         t_send[i] = w[i+1][n_y];
413
414     neighbour_coords[0] = my_coords[0];
415     neighbour_coords[1] = my_coords[1] + 1;
416
417     MPI_Cart_rank(MPI_COMM_CART, neighbour_coords, &neighbour_rank);
418     MPI_Isend(t_send, n_x, MPI_DOUBLE,
419             neighbour_rank, tag,
420             MPI_COMM_CART, &request[2]);
421 }
422
423 // Right border
424 if ((process_amounts[0] > 1) && !right_border) {
425     for (j = 0; j < n_y; j++)
426         r_send[j] = w[n_x][j+1];
427
428     neighbour_coords[0] = my_coords[0] + 1;
429     neighbour_coords[1] = my_coords[1];
430
431     MPI_Cart_rank(MPI_COMM_CART, neighbour_coords, &neighbour_rank);
432     MPI_Isend(r_send, n_y, MPI_DOUBLE,
433             neighbour_rank, tag,
434             MPI_COMM_CART, &request[3]);
435 }
436
437 // Receive borders
438 // Bottom border

```

```

438     if ((bottom_border && (process_amounts[1] > 1)) || (process_amounts[1] ==
439         1)) {
440         for (i = 1; i <= n_x; i++)
441             w[i][0] = u_2(A1 + (x_idx + i - 1) * h1, B1 + (y_idx - 1) * h2);
442     } else {
443         neighbour_coords[0] = my_coords[0];
444         neighbour_coords[1] = my_coords[1] - 1;
445         MPI_Cart_rank(MPI_COMM_CART, neighbour_coords, &neighbour_rank);
446         MPI_Recv(b_rec, n_x, MPI_DOUBLE,
447             neighbour_rank, tag, MPI_COMM_CART, &status);
448
449         for (i = 1; i <= n_x; i++)
450             w[i][0] = b_rec[i - 1];
451     }
452
453     // Left border
454     if ((left_border && (process_amounts[0] > 1)) || (process_amounts[0] ==
455         1)) {
456         for (j = 1; j <= n_y; j++){
457             w[0][j] = u_2(A1 + (x_idx - 1) * h1, B1 + (y_idx + j - 1) * h2);
458         }
459     } else {
460         neighbour_coords[0] = my_coords[0] - 1;
461         neighbour_coords[1] = my_coords[1];
462
463         MPI_Cart_rank(MPI_COMM_CART, neighbour_coords, &neighbour_rank);
464         MPI_Recv(l_rec, n_y, MPI_DOUBLE,
465             neighbour_rank, tag, MPI_COMM_CART, &status);
466
467         for (j = 1; j <= n_y; j++)
468             w[0][j] = l_rec[j - 1];
469     }
470
471     // Top border
472     if ((top_border && (process_amounts[1] > 1)) || (process_amounts[1] == 1)
473         ) {
474         for (i = 1; i <= n_x; i++)
475             w[i][n_y + 1] = u_2(A1 + (x_idx + i - 1) * h1, B1 + (y_idx + n_y)
476                 * h2);
477     } else {
478         neighbour_coords[0] = my_coords[0];
479         neighbour_coords[1] = my_coords[1] + 1;
480         MPI_Cart_rank(MPI_COMM_CART, neighbour_coords, &neighbour_rank);
481         MPI_Recv(t_rec, n_x, MPI_DOUBLE,
482             neighbour_rank, tag + DOWN_TAG,
483             MPI_COMM_CART, &status);
484
485         for (i = 1; i <= n_x; i++)
486             w[i][n_y + 1] = t_rec[i - 1];
487     }
488
489     // Right border
490     if ((right_border && (process_amounts[0] > 1)) || (process_amounts[0] ==
491         1)) {
492         for (j = 1; j <= n_y; j++)
493             w[n_x + 1][j] = u_2(A1 + (x_idx + n_x)*h1, B1 + (y_idx + j - 1) *
494                 h2);
495     } else {
496         neighbour_coords[0] = my_coords[0] + 1;
497         neighbour_coords[1] = my_coords[1];
498         MPI_Cart_rank(MPI_COMM_CART, neighbour_coords, &neighbour_rank);

```

```

494     MPI_Recv(r_rec, n_y, MPI_DOUBLE,
495             neighbour_rank, tag, MPI_COMM_CART, &status);
496
497     for (j = 1; j <= n_y; j++)
498         w[n_x + 1][j] = r_rec[j - 1];
499 }
500
501 for (int i = 0; i < 4; i++) {
502     MPI_Wait(&request[i], &status);
503 }
504 }
505
506 int main(int argc, char *argv[]) {
507     if (argc != 3) {
508         printf("Program receive %d numbers. Should be 2: M, N\n", argc);
509         return -1;
510     }
511
512     int M = atoi(argv[argc - 2]);
513     int N = atoi(argv[argc - 1]);
514     if ((M <= 0) || (N <= 0)) {
515         printf("M and N should be integer and > 0!!!\n");
516         return -1;
517     }
518     printf("M = %d, N = %d\n", M, N);
519
520     int my_rank;
521     int n_processes;
522     int process_amounts[2] = {0, 0};
523     int write[1] = {0};
524
525     double h1 = (A2 - A1) / M;
526     double h2 = (B2 - B1) / N;
527     double cur_eps = 1.0;
528
529     MPI_Init(&argc, &argv);
530     MPI_Status status;
531     MPI_Request request;
532
533     // For the cartesian topology
534     MPI_Comm MPI_COMM_CART;
535     MPI_Comm_rank(MPI_COMM_WORLD, &my_rank);
536     MPI_Comm_size(MPI_COMM_WORLD, &n_processes);
537
538     // Creating rectangular supports
539     MPI_Dims_create(n_processes, 2, process_amounts);
540
541     printf("p_x = %d, p_y = %d\n", process_amounts[0], process_amounts[1]);
542     int periods[2] = {0, 0};
543
544     // Create cartesian topology in communicator
545     MPI_Cart_create(MPI_COMM_WORLD, 2,
546                   process_amounts, periods,
547                   1, &MPI_COMM_CART);
548
549     int my_coords[2];
550     // Receive corresponding to rank process coordinates
551     MPI_Cart_coords(MPI_COMM_CART, my_rank, 2, my_coords);
552
553     int x_idx, n_x;
554     get_idx_n_idx(&x_idx, &n_x, process_amounts[0], M+1, my_coords[0]);
555

```

```

556     int y_idx, n_y;
557     get_idx_n_idx(&y_idx, &n_y, process_amounts[1], N+1, my_coords[1]);
558
559     double start_time = MPI_Wtime();
560
561     // Create each block of size n_x and n_y with borders
562     double *t_send = malloc(sizeof(double[n_x]));
563     double *t_rec = malloc(sizeof(double[n_x]));
564     double *b_send = malloc(sizeof(double[n_x]));
565     double *b_rec = malloc(sizeof(double[n_x]));
566
567     double *l_send = malloc(sizeof(double[n_y]));
568     double *l_rec = malloc(sizeof(double[n_y]));
569     double *r_send = malloc(sizeof(double[n_y]));
570     double *r_rec = malloc(sizeof(double[n_y]));
571
572     int i, j;
573     int n_iters = 0;
574     double block_eps;
575
576     double (*w)[n_y + 2] = malloc(sizeof(double[n_x + 2][n_y + 2]));
577     double (*w_pr)[n_y + 2] = malloc(sizeof(double[n_x + 2][n_y + 2]));
578     double (*B)[n_y + 2] = malloc(sizeof(double[n_x + 2][n_y + 2]));
579     double tau = 0;
580     double global_tau = 0;
581     double alpha_k, beta_k;
582     double denominator;
583     double whole_denum;
584     double global_alpha, global_beta;
585     double eps_local, eps_r;
586
587     double (*Aw)[n_y + 2] = malloc(sizeof(double[n_x + 2][n_y + 2]));
588     double (*r_k_1)[n_y + 2] = malloc(sizeof(double[n_x + 2][n_y + 2]));
589     double (*r_k)[n_y + 2] = malloc(sizeof(double[n_x + 2][n_y + 2]));
590     double (*Ar)[n_y + 2] = malloc(sizeof(double[n_x + 2][n_y + 2]));
591     double (*z)[n_y + 2] = malloc(sizeof(double[n_x + 2][n_y + 2]));
592     double (*Az)[n_y + 2] = malloc(sizeof(double[n_x + 2][n_y + 2]));
593     double (*w_w_pr)[n_y + 2] = malloc(sizeof(double[n_x + 2][n_y + 2]));
594
595     int left_border = 0;
596     int top_border = 0;
597     int right_border = 0;
598     int bottom_border = 0;
599
600     if (my_coords[0] == 0)
601         left_border = 1;
602
603     if (my_coords[0] == (process_amounts[0] - 1))
604         right_border = 1;
605
606     if (my_coords[1] == 0)
607         bottom_border = 1;
608
609     if (my_coords[1] == (process_amounts[1] - 1))
610         top_border = 1;
611
612     printf("L%d, R%d, T%d, B%d, 'x'%d, 'y'%d\n",
613           left_border, right_border, top_border, bottom_border, my_coords[0],
614           my_coords[1]);
615     printf("%d %d\n", x_idx, y_idx);
616

```

```

617 double (*Au)[n_y + 2] = malloc(sizeof(double[n_x + 2][n_y + 2]));
618 double (*U)[n_y + 2] = malloc(sizeof(double[n_x + 2][n_y + 2]));
619 for (i = 0; i <= n_x + 1; i++)
620     for (j = 0; j <= n_y + 1; j++)
621         U[i][j] = u_2(A1 + (x_idx + i - 1) * h1, B1 + (y_idx + j - 1) * h2
622             );
623
624 Aw_mult(n_x, n_y, Au, U, h1, h2,
625         A1 + x_idx * h1, B1 + y_idx * h2,
626         left_border, right_border,
627         top_border, bottom_border);
628
629 B_right(n_x, n_y, B,
630         h1, h2,
631         A1 + x_idx * h1,
632         B1 + y_idx * h2,
633         left_border, right_border,
634         top_border, bottom_border);
635
636 double norm_b, all_norm_b;
637 norm_b = dot_product(n_x, n_y, B, B, h1, h2,
638                     left_border, right_border,
639                     top_border, bottom_border);
640 MPI_Allreduce(&norm_b, &all_norm_b, 1,
641             MPI_DOUBLE, MPI_SUM, MPI_COMM_CART);
642 all_norm_b = sqrt(all_norm_b);
643
644 double error_mean = 0;
645 int amnt = 0;
646 for (i = 1; i <= n_x; i++)
647     for (j = 1; j <= n_y; j++){
648         error_mean += fabs(Au[i][j] - B[i][j]);
649         amnt += 1;
650     }
651 printf("ERROR FROM B = %3.2f\n", error_mean / amnt);
652
653 for (i = 0; i <= n_x + 1; i++)
654     for (j = 0; j <= n_y + 1; j++)
655         w[i][j] = 0; // u_2(A1 + (x_idx + i - 1) * h1, B1 + (y_idx + j -
656             1) * h2);
657
658 int tag = 0;
659 while ((cur_eps > EPS_REL) && (n_iters < MAX_ITER)) {
660     if (my_rank == 0) {
661         if (n_iters % 1000 == 0)
662             printf("%g \n", cur_eps);
663     }
664     n_iters++;
665
666     for (i = 0; i <= n_x + 1; i++) {
667         for (j = 0; j <= n_y + 1; j++) {
668             if (i == 0 || j == 0 || i == n_x + 1 || j == n_y + 1) {
669                 w_pr[i][j] = 0;
670             } else {
671                 w_pr[i][j] = w[i][j];
672             }
673         }
674     }
675
676     send_rcv_borders(n_x, n_y, process_amounts,
677                     x_idx, y_idx, my_coords, tag,
678                     w,
679                     b_send, l_send, t_send, r_send,

```

```

677         b_rec, l_rec, t_rec, r_rec,
678         left_border, right_border,
679         top_border, bottom_border,
680         h1, h2, MPI_COMM_CART);
681
682     Aw_mult(n_x, n_y,
683             Aw, w,
684             h1, h2,
685             A1 + x_idx * h1, B1 + y_idx * h2,
686             left_border, right_border,
687             top_border, bottom_border);
688
689     // Make initialization for CG
690     if (n_iters == 1) {
691         calculate_r(n_x, n_y, r_k_1, B, Aw);
692
693         send_recv_borders(n_x, n_y, process_amounts, x_idx, y_idx,
694                           my_coords, tag,
695                           r_k_1,
696                           b_send, l_send, t_send, r_send,
697                           b_rec, l_rec, t_rec, r_rec,
698                           left_border, right_border, top_border,
699                           bottom_border,
700                           h1, h2, MPI_COMM_CART);
701         for (i = 0; i <= n_x + 1; i++)
702             for (j = 0; j <= n_y + 1; j++)
703                 z[i][j] = r_k_1[i][j];
704     }
705
706     Aw_mult(n_x, n_y,
707             Ar, r_k_1,
708             h1, h2,
709             A1 + x_idx * h1, B1 + y_idx * h2,
710             left_border, right_border,
711             top_border, bottom_border);
712
713     Aw_mult(n_x, n_y,
714             Az, z,
715             h1, h2,
716             A1 + x_idx * h1, B1 + y_idx * h2,
717             left_border, right_border,
718             top_border, bottom_border);
719
720     alpha_k = dot_product(n_x, n_y, r_k_1, r_k_1, h1, h2,
721                           left_border, right_border,
722                           top_border, bottom_border);
723     denominator = dot_product(n_x, n_y, Az, z, h1, h2,
724                               left_border, right_border,
725                               top_border, bottom_border);
726
727     MPI_Allreduce(&alpha_k, &global_alpha, 1,
728                  MPI_DOUBLE, MPI_SUM, MPI_COMM_CART);
729     MPI_Allreduce(&denominator, &whole_denum, 1,
730                  MPI_DOUBLE, MPI_SUM, MPI_COMM_CART);
731     global_alpha = global_alpha / whole_denum;
732
733     for (i = 1; i <= n_x; i++)
734         for (j = 1; j <= n_y; j++) {
735             w[i][j] = w[i][j] + global_alpha * z[i][j];
736             r_k[i][j] = r_k_1[i][j] - global_alpha * Az[i][j];
737         }

```

```

737     send_recv_borders(n_x, n_y, process_amounts, x_idx, y_idx, my_coords,
738                       tag,
739                       r_k,
740                       b_send, l_send, t_send, r_send,
741                       b_rec, l_rec, t_rec, r_rec,
742                       left_border, right_border, top_border, bottom_border,
743                       h1, h2, MPI_COMM_CART);
744     beta_k = dot_product(n_x, n_y, r_k, r_k, h1, h2,
745                          left_border, right_border,
746                          top_border, bottom_border
747                          );
748     denominator = dot_product(n_x, n_y, r_k_1, r_k_1, h1, h2,
749                               left_border, right_border,
750                               top_border, bottom_border);
751
752     MPI_Allreduce(&beta_k, &global_beta, 1,
753                  MPI_DOUBLE, MPI_SUM, MPI_COMM_WORLD);
754     MPI_Allreduce(&denominator, &whole_denum, 1,
755                  MPI_DOUBLE, MPI_SUM, MPI_COMM_WORLD);
756     global_beta = global_beta / whole_denum;
757
758     for (i = 1; i <= n_x; i++)
759     for (j = 1; j <= n_y; j++) {
760         z[i][j] = r_k[i][j] + global_beta * z[i][j];
761         r_k_1[i][j] = r_k[i][j];
762     }
763     send_recv_borders(n_x, n_y, process_amounts, x_idx, y_idx, my_coords,
764                       tag,
765                       z,
766                       b_send, l_send, t_send, r_send,
767                       b_rec, l_rec, t_rec, r_rec,
768                       left_border, right_border, top_border, bottom_border,
769                       h1, h2, MPI_COMM_CART);
770
771     block_eps = dot_product(n_x, n_y, r_k_1, r_k_1, h1, h2,
772                             left_border, right_border,
773                             top_border, bottom_border);
774     MPI_Allreduce(&block_eps, &cur_eps, 1,
775                  MPI_DOUBLE, MPI_SUM, MPI_COMM_CART);
776     cur_eps = sqrt(cur_eps) / all_norm_b;
777 }
778
779 // Waiting for all processes
780 MPI_Barrier(MPI_COMM_WORLD);
781 double end_time = MPI_Wtime();
782
783 if (my_rank != 0) {
784     MPI_Recv(write, 1, MPI_INT, my_rank - 1, 0, MPI_COMM_WORLD, &status);
785 } else {
786     printf("TIME = %f\n", end_time - start_time);
787     printf("Number of iterations = %d\n", n_iters);
788     printf("Tau = %f\n", tau);
789     printf("Eps = %f\n", EPS_REL);
790 }
791
792 // usleep(500);
793 if (my_rank != n_processes - 1)
794     MPI_Send(write, 1, MPI_INT, my_rank + 1, 0, MPI_COMM_WORLD);
795
796 FILE *dim0, *dim1, *grid, *u_file, *true_u_file;
797 char u_file_name[FILENAME_MAX];
798 sprintf(u_file_name, "u_%d_%d.csv", my_coords[0], my_coords[1]);

```

```

797 char true_u_file_name[FILENAME_MAX];
798 sprintf(true_u_file_name, "true.u_%d_%d.csv", my_coords[0], my_coords[1])
    ;
799
800 dim0 = fopen("dim0.csv", "w");
801 dim1 = fopen("dim1.csv", "w");
802 grid = fopen("grid.csv", "w");
803 u_file = fopen(u_file_name, "w");
804 true_u_file = fopen(true_u_file_name, "w");
805
806
807 for (int j = y_idx; j < y_idx + n_y; j++) {
808     for (int i = x_idx; i < x_idx + n_x; i++) {
809         fprintf(u_file, "%g ", w[i - x_idx + 1][j - y_idx + 1]);
810         fprintf(true_u_file, "%g ", u_2(A1 + i*h1, B1 + j*h2));
811     }
812     fprintf(u_file, "\n");
813     fprintf(true_u_file, "\n");
814 }
815
816 if (my_rank == 0) {
817     for (int j = 0; j <= N; j++) {
818         fprintf(dim0, "%g ", B1 + j*h2);
819     }
820
821     for (int i = 0; i <= M; i++) {
822         fprintf(dim1, "%g ", A1 + i*h1);
823     }
824     fprintf(grid, "%d %d", process_amounts[1], process_amounts[0]);
825 }
826 fclose(dim0);
827 fclose(dim1);
828 fclose(grid);
829 fclose(u_file);
830 fclose(true_u_file);
831
832 free(Au);
833 free(U);
834 free(w);
835 free(w_pr);
836 free(B);
837 free(Az);
838 free(z);
839 free(Ar);
840 free(r_k);
841 free(r_k_1);
842 free(Aw);
843 free(w_w_pr);
844
845 free(t_send);
846 free(t_rec);
847 free(b_send);
848 free(b_rec);
849 free(r_send);
850 free(r_rec);
851 free(l_send);
852 free(l_rec);
853 MPI_Finalize();
854 return 0;
855 }

```

Листинг 2: neyman_pde_mpi_cg.c

10 Приложение 3. Код MPI+CUDA программы

```
1 #include <stdio.h>
2 #include <stdlib.h>
3 #include <math.h>
4 #include "mpi.h"
5 #include <string.h>
6
7 #include "cuda_profiler_api.h"
8 #define A1 0.0
9 #define A2 4.0
10 #define B1 0.0
11 #define B2 3.0
12
13 #define epsilon 1e-5
14 #define threadsPerBlock 4
15 #define numThreadsX 2
16 #define numThreadsY 2
17 #define EPS_REL 1e-6
18 #define DOWN_TAG 1000
19 #define MAX_ITER 100000
20
21 __device__ double dev_u_2(double x, double y){
22     return sqrt(4 + x * y);
23 }
24
25 __device__ double dev_k_3(double x, double y){
26     return 4 + x + y;
27 }
28
29 __device__ double dev_q_2(double x, double y){
30     double sum = x + y;
31     if (sum < 0) {
32         return 0;
33     } else {
34         return sum;
35     }
36 }
37
38 __device__ double dev_F(double x, double y){
39     return ((pow(x, 3) - x*x*(y - 4) - x*(y*y + 8) +
40             y*(y*y + 4*y - 8) + 4*dev_q_2(x, y)*pow((4 + x*y), 2)) /
41            (4 * pow((4 + x*y), 1.5)));
42 }
43
44 __device__ double dev_psi_R(double x, double y){
45     return (y*(4 + x + y) + 2*(4 + x*y)) / (2*sqrt(4 + x*y));
46 }
47
48 __device__ double dev_psi_L(double x, double y){
49     return (-y*(4 + x + y) + 2*(4 + x*y)) / (2*sqrt(4 + x*y));
50 }
51
52
53 __device__ double dev_psi_T(double x, double y){
54     return (x*(4 + x + y)) / (2*sqrt(4 + x*y));
55 }
56
57
58 __device__ double dev_psi_B(double x, double y){
59     return -dev_psi_T(x, y);
60 }
```

```

61
62 __global__ void init_w(int n_y, double **w){
63     int tid_x = threadIdx.x + blockIdx.x * blockDim.x;
64     int tid_y = threadIdx.y + blockIdx.y * blockDim.y;
65     w[tid_x][tid_y] = 0.0;
66     return;
67 }
68
69 __global__ void copy_interior_w(int M, int N,
70                                 double **w,
71                                 double **w_pr){
72     int tid_x = threadIdx.x + blockIdx.x * blockDim.x;
73     int tid_y = threadIdx.y + blockIdx.y * blockDim.y;
74     if (tid_x == 0 || tid_y == 0 || tid_x == M + 1 || tid_y == N + 1) {
75         w_pr[tid_x][tid_y] = 0.0;
76     } else {
77         w_pr[tid_x][tid_y] = w[tid_x][tid_y];
78     }
79     return;
80 }
81
82 __global__ void get_top(int n_x, int n_y,
83                         int x_idx, int y_idx,
84                         double **w,
85                         double *dev_t_send){
86     int tid_x = threadIdx.x + blockIdx.x * blockDim.x;
87     int tid_y = threadIdx.y + blockIdx.y * blockDim.y;
88     int i = tid_x - x_idx;
89     if (tid_y == (y_idx + n_y - 1))
90         dev_t_send[i] = w[i+1][n_y];
91 }
92
93 __global__ void get_bottom(int n_x, int n_y,
94                            int x_idx, int y_idx,
95                            double **w,
96                            double *dev_b_send){
97     int tid_x = threadIdx.x + blockIdx.x * blockDim.x;
98     int tid_y = threadIdx.y + blockIdx.y * blockDim.y;
99     int i = tid_x - x_idx;
100    if (tid_y == y_idx)
101        dev_b_send[i] = w[i+1][1];
102 }
103 __global__ void get_left(int n_x, int n_y,
104                          int x_idx, int y_idx,
105                          double **w,
106                          double *dev_l_send){
107     int tid_x = threadIdx.x + blockIdx.x * blockDim.x;
108     int tid_y = threadIdx.y + blockIdx.y * blockDim.y;
109     int j = tid_y - y_idx;
110     if (tid_x == x_idx)
111         dev_l_send[j] = w[1][j+1];
112 }
113 __global__ void get_right(int n_x, int n_y,
114                           int x_idx, int y_idx,
115                           double **w,
116                           double *dev_r_send){
117     int tid_x = threadIdx.x + blockIdx.x * blockDim.x;
118     int tid_y = threadIdx.y + blockIdx.y * blockDim.y;
119     int j = tid_y - y_idx;
120     if (tid_x == (x_idx + n_x - 1))
121         dev_r_send[j] = w[n_x][j+1];
122 }

```

```

123
124 __global__ void set_top(int n_x, int n_y,
125                        int x_idx, int y_idx,
126                        double **w,
127                        double *dev_t_recv)
128 {
129     int tid_x = threadIdx.x + blockIdx.x * blockDim.x;
130     int tid_y = threadIdx.y + blockIdx.y * blockDim.y;
131     int i = tid_x - x_idx;
132     if (tid_y == (y_idx + n_y - 1))
133         w[i][n_y + 1] = dev_t_recv[i - 1];
134 }
135
136 __global__ void set_bottom(int n_x, int n_y,
137                           int x_idx, int y_idx,
138                           double **w,
139                           double *dev_b_recv
140 ){
141     int tid_x = threadIdx.x + blockIdx.x * blockDim.x;
142     int tid_y = threadIdx.y + blockIdx.y * blockDim.y;
143     int i = tid_x - x_idx;
144     if (tid_y == y_idx)
145         w[i][0] = dev_b_recv[i-1];
146 }
147 __global__ void set_left(int n_x, int n_y,
148                          int x_idx, int y_idx,
149                          double **w,
150                          double *dev_l_recv
151 ){
152     int tid_x = threadIdx.x + blockIdx.x * blockDim.x;
153     int tid_y = threadIdx.y + blockIdx.y * blockDim.y;
154     int j = tid_y - y_idx;
155     if (tid_x == x_idx)
156         w[0][j] = dev_l_recv[j-1];
157 }
158 __global__ void set_right(int n_x, int n_y,
159                          int x_idx, int y_idx,
160                          double **w,
161                          double *dev_r_recv
162 ){
163     int tid_x = threadIdx.x + blockIdx.x * blockDim.x;
164     int tid_y = threadIdx.y + blockIdx.y * blockDim.y;
165     int j = tid_y - y_idx;
166     if (tid_x == (x_idx + n_x - 1))
167         w[n_x+1][j] = dev_r_recv[j - 1];
168 }
169
170
171 __global__ void preset_top(int n_x, int n_y,
172                          int x_idx, int y_idx,
173                          double **w,
174                          double h1, double h2
175 ){
176     int tid_x = threadIdx.x + blockIdx.x * blockDim.x;
177     int tid_y = threadIdx.y + blockIdx.y * blockDim.y;
178     int i = tid_x - x_idx;
179     if (tid_y == (y_idx + n_y - 1))
180         w[i][n_y + 1] = dev_u_2(A1 + (x_idx + i - 1)*h1,
181                                B1 + (y_idx + n_y) * h2);
182 }
183
184 __global__ void preset_bottom(int n_x, int n_y,

```

```

185         int x_idx, int y_idx,
186         double **w,
187         double h1, double h2
188     ){
189         int tid_x = threadIdx.x + blockIdx.x * blockDim.x;
190         int tid_y = threadIdx.y + blockIdx.y * blockDim.y;
191         int i = tid_x - x_idx;
192         if (tid_y == y_idx)
193             w[i][0] = dev_u_2(A1 + (x_idx + i - 1)*h1,
194                             B1 + (y_idx - 1) * h2);
195     }
196     __global__ void preset_left(int n_x, int n_y,
197                                int x_idx, int y_idx,
198                                double **w,
199                                double h1, double h2
200     ){
201         int tid_x = threadIdx.x + blockIdx.x * blockDim.x;
202         int tid_y = threadIdx.y + blockIdx.y * blockDim.y;
203         int j = tid_y - y_idx;
204         if (tid_x == x_idx)
205             w[0][j] = dev_u_2(A1 + (x_idx - 1)*h1,
206                             B1 + (y_idx + j - 1) * h2);
207     }
208     __global__ void preset_right(int n_x, int n_y,
209                                  int x_idx, int y_idx,
210                                  double **w,
211                                  double h1, double h2
212     ){
213         int tid_x = threadIdx.x + blockIdx.x * blockDim.x;
214         int tid_y = threadIdx.y + blockIdx.y * blockDim.y;
215         int j = tid_y - y_idx;
216         if (tid_x == (x_idx + n_x - 1))
217             w[n_x+1][j] = dev_u_2(A1 + (x_idx + n_x)*h1,
218                                   B1 + (y_idx + j - 1) * h2);
219     }
220
221
222     __global__ void cudaB_right(int M, int N, double **B,
223                                 int x_idx, int y_idx,
224                                 double h1, double h2,
225                                 double x_start, double y_start,
226                                 int left_border, int right_border,
227                                 int top_border, int bottom_border){
228         int tid_x = threadIdx.x + blockIdx.x * blockDim.x;
229         int tid_y = threadIdx.y + blockIdx.y * blockDim.y;
230         int i = tid_x - x_idx;
231         int j = tid_y - y_idx;
232
233         B[i][j] = dev_F(x_start + (i - 1) * h1, y_start + (j - 1) * h2);
234
235         if (left_border){
236             B[1][j] = (dev_F(x_start, y_start + (j - 1) * h2) +
237                       dev_psi_L(x_start, y_start + (j - 1) * h2) * 2/h1);
238         } else if (right_border){
239             B[M][j] = (dev_F(x_start + (M - 1)*h1, y_start + (j - 1) * h2) +
240                       dev_psi_R(x_start + (M - 1)*h1, y_start + (j - 1) * h2) * 2/
241                               h1);
242         }
243         if (top_border){
244             B[i][N] = (dev_F(x_start + (i - 1)*h1, y_start + (N - 1)*h2) +
245                       dev_psi_T(x_start + (i - 1)*h1, y_start + (N - 1)*h2) * 2/h2
246                       );

```

```

245     } else if (bottom_border){
246         B[i][1] = (dev_F(x_start + (i - 1)*h1, y_start) +
247                 dev_psi_B(x_start + (i - 1)*h1, y_start) * 2/h2);
248     }
249     if (left_border && top_border){
250         B[1][N] = (dev_F(x_start, y_start + (N - 1)*h2) +
251                 (2/h1 + 2/h2) * (dev_psi_L(x_start, y_start + (N - 1)*h2) +
252                 dev_psi_T(x_start, y_start + (N - 1)*h2)) /
253                 2);
254     } else if (left_border && bottom_border){
255         B[1][1] = (dev_F(x_start, y_start)
256                 + (2/h1 + 2/h2) * (dev_psi_L(x_start, y_start) + dev_psi_B(
257                 x_start, y_start)) / 2);
258     } else if (right_border && top_border){
259         B[M][N] = (dev_F(x_start + (M - 1)*h1, y_start + (N - 1)*h2) +
260                 (2/h1 + 2/h2) * (dev_psi_R(x_start + (M - 1)*h1, y_start + (
261                 N - 1)*h2) +
262                 dev_psi_T(x_start + (M - 1)*h1, y_start + (N
263                 - 1)*h2)) / 2);
264     } else if (right_border && bottom_border){
265         B[M][1] = (dev_F(x_start + (M - 1)*h1, y_start) +
266                 (2/h1 + 2/h2) * (dev_psi_R(x_start + (M - 1)*h1, y_start) +
267                 dev_psi_B(x_start + (M - 1)*h1, y_start)) /
268                 2);
269     }
270 }
271
272 __device__ double dev_aw_x_ij(int N,
273                                double **w,
274                                double x_start, double y_start,
275                                int i, int j,
276                                double h1, double h2
277 ){
278     return (1/h1) * (dev_k_3(x_start + (i + 0.5 - 1) * h1, y_start + (j - 1) *
279     h2) * (w[i + 1][j] - w[i][j]) / h1
280     - dev_k_3(x_start + (i - 0.5 - 1) * h1, y_start + (j - 1) *
281     h2) * (w[i][j] - w[i - 1][j]) / h1);
282 }
283
284 __device__ double dev_aw_ij(int N,
285                              double **w,
286                              double x_start, double y_start,
287                              int i, int j,
288                              double h1, double h2
289 ){
290     return (dev_k_3(x_start + (i - 0.5 - 1) * h1, y_start + (j - 1) * h2) * (w
291     [i][j] - w[i - 1][j]) / h1);
292 }
293
294 __device__ double dev_bw_y_ij(int N,
295                                double **w,
296                                double x_start, double y_start,
297                                int i, int j,
298                                double h1, double h2
299 ){
300     return (1/h2) * (dev_k_3(x_start + (i - 1) * h1, y_start + (j + 0.5 - 1) *
301     h2) * (w[i][j + 1] - w[i][j]) / h2
302     - dev_k_3(x_start + (i - 1) * h1, y_start + (j - 0.5 - 1) *
303     h2) * (w[i][j] - w[i][j - 1]) / h2);
304 }
305
306 __device__ double dev_bw_ij(int N,

```

```

297         double **w,
298         double x_start, double y_start,
299         int i, int j,
300         double h1, double h2
301     ){
302         return (dev_k_3(x_start + (i - 1) * h1, y_start + (j - 0.5 - 1) * h2) * (w
           [i][j] - w[i][j-1]) / h2);
303     }
304
305     __global__ void cuda_Aw_mult(int M, int N,
306                                 int x_idx, int y_idx,
307                                 double **A, double **w,
308                                 double h1, double h2,
309                                 double x_start, double y_start,
310                                 int left_border, int right_border,
311                                 int top_border, int bottom_border
312     ) {
313         double aw_x, bw_y;
314         int tid_x = threadIdx.x + blockIdx.x * blockDim.x;
315         int tid_y = threadIdx.y + blockIdx.y * blockDim.y;
316         int i = tid_x - x_idx;
317         int j = tid_y - y_idx;
318
319         if ((i == 0) || i == M+1 || j == 0 || j == N+1){
320             A[i][j] = w[i][j];
321         } else {
322             aw_x = dev_aw_x_ij(N, w, x_start, y_start, i, j, h1, h2);
323             bw_y = dev_bw_y_ij(N, w, x_start, y_start, i, j, h1, h2);
324             A[i][j] = -aw_x - bw_y + dev_q_2(x_start + (i - 1) * h1,
           y_start + (j - 1) * h2) * w[i][j];
325         }
326
327         // Left interior border filling
328         if (left_border){
329             aw_x = dev_aw_ij(N, w, x_start, y_start, 2, j, h1, h2);
330             bw_y = dev_bw_y_ij(N, w, x_start, y_start, 1, j, h1, h2);
331             A[1][j] = -2*aw_x / h1 - bw_y + (dev_q_2(x_start, y_start + (j - 1) *
           h2)
           + 2/h1) * w[1][j];
332
333         } else if (right_border){
334             // Right interior border
335             aw_x = dev_aw_ij(N, w, x_start, y_start, M, j, h1, h2);
336             bw_y = dev_bw_y_ij(N, w, x_start, y_start, M, j, h1, h2);
337             A[M][j] = 2*aw_x / h1 - bw_y + (dev_q_2(x_start + (M - 1) * h1,
           y_start + (j - 1) * h2) + 2/h1) *
           w[M][j];
338
339         }
340
341         // Top border
342         if (top_border){
343             aw_x = dev_aw_x_ij(N, w, x_start, y_start, i, N, h1, h2);
344             bw_y = dev_bw_ij(N, w, x_start, y_start, i, N, h1, h2);
345             A[i][N] = -aw_x + 2*bw_y / h2 + dev_q_2(x_start + (i - 1) * h1,
           y_start + (N - 1) * h2) * w[i][N];
346
347         } else if (bottom_border){
348             // Bottom border
349             aw_x = dev_aw_x_ij(N, w, x_start, y_start, i, 1, h1, h2);
350             bw_y = dev_bw_ij(N, w, x_start, y_start, i, 2, h1, h2);
351             A[i][1] = -aw_x - 2*bw_y / h2 + dev_q_2(x_start + (i - 1) * h1, y_start
           ) * w[i][1];
352
353         }
354         if (left_border && bottom_border){

```

```

355     aw_x = dev_aw_ij(N, w, x_start, y_start, 2, 1, h1, h2);
356     bw_y = dev_bw_ij(N, w, x_start, y_start, 1, 2, h1, h2);
357     A[1][1] = -2*aw_x / h1 - 2*bw_y / h2 + (dev_q_2(x_start, y_start) + 2/
        h1) * w[1][1];
358 } else if (left_border && top_border){
359     aw_x = dev_aw_ij(N, w, x_start, y_start, 2, N, h1, h2);
360     bw_y = dev_bw_ij(N, w, x_start, y_start, 1, N, h1, h2);
361     A[1][N] = -2*aw_x / h1 + 2*bw_y / h2 + (dev_q_2(x_start, y_start + (N
        - 1) * h2) + 2/h1) * w[1][N];
362 }
363 if (right_border && bottom_border){
364     aw_x = dev_aw_ij(N, w, x_start, y_start, M, 1, h1, h2);
365     bw_y = dev_bw_ij(N, w, x_start, y_start, M, 2, h1, h2);
366     A[M][1] = 2*aw_x / h1 - 2 * bw_y / h2 + (dev_q_2(x_start + (M - 1) *
        h1, y_start) + 2/h1) * w[M][1];
367 } else if (right_border && top_border) {
368     aw_x = dev_aw_ij(N, w, x_start, y_start, M, N, h1, h2);
369     bw_y = dev_bw_ij(N, w, x_start, y_start, M, N, h1, h2);
370     A[M][N] = 2*aw_x / h1 + 2 * bw_y / h2 + (dev_q_2(x_start + (M - 1) *
        h1,
371                                     y_start + (N - 1) * h2) +
        2/h1) * w[M][N];
372 }
373 }
374
375 __global__ void calculate_r(int M, int N,
376                             int x_idx, int y_idx,
377                             double **r,
378                             double **Aw,
379                             double **B){
380     int tid_x = threadIdx.x + blockIdx.x * blockDim.x;
381     int tid_y = threadIdx.y + blockIdx.y * blockDim.y;
382     int i = tid_x - x_idx;
383     int j = tid_y - y_idx;
384
385     if(i == 0 || i == M+1 || j == 0 || j == N+1)
386         r[i][j] = 0;
387     else
388         r[i][j] = Aw[i][j] - B[i][j];
389 }
390
391
392 __device__ double dev_rho_1(int i,
393                             int M,
394                             int left_border,
395                             int right_border){
396     if ((left_border && i == 1) || (right_border && i == M))
397         return 0.5;
398     return 1;
399 }
400
401 __device__ double dev_rho_2(int j,
402                             int N,
403                             int bottom_border,
404                             int top_border){
405     if ((bottom_border && j == 1) || (top_border && j == N))
406         return 0.5;
407     return 1;
408 }
409
410 __global__ void cuda_dot_product(int n_x, int n_y,
411                                 int x_idx, int y_idx,

```

```

412         double **U, double **V,
413         double h1, double h2,
414         int left_border, int right_border,
415         int top_border, int bottom_border,
416         double *partial_product
417     ){
418         // int num_threads_x = (int) sqrt(threadsPerBlock);
419         // int num_threads_y = threadsPerBlock / numThreadsX;
420         __shared__ double cache[numThreadsX];
421         // __shared__ double cache_y[numThreadsY];
422
423
424         int tid_x = threadIdx.x + blockIdx.x * blockDim.x;
425         int tid_y = threadIdx.y + blockIdx.y * blockDim.y;
426         int i = tid_x - x_idx;
427         int j = tid_y - y_idx;
428
429         int cacheIndex_x = threadIdx.x;
430         // int cacheIndex_y = threadIdx.y;
431         double temp = 0;
432         double rho, r1, r2;
433
434         while (i < n_x) {
435             j = tid_y - y_idx;
436             while (j < n_y) {
437                 r1 = dev_rho_1(i, n_x, left_border, right_border);
438                 r2 = dev_rho_2(j, n_y, bottom_border, top_border);
439                 rho = r1 * r2;
440                 double part_dot = (rho * U[i][j] * V[i][j] * h1 * h2);
441                 temp += part_dot;
442                 j += blockDim.y * gridDim.y;
443             }
444             i += blockDim.x * gridDim.x;
445         }
446         cache[cacheIndex_x] = temp;
447         __syncthreads();
448         int k = blockDim.x / 2;
449         while (k > 0) {
450             if (cacheIndex_x < k) {
451                 cache[cacheIndex_x] += cache[cacheIndex_x + k];
452             }
453             __syncthreads();
454             k = k / 2;
455         }
456         if (cacheIndex_x == 0) {
457             partial_product[blockIdx.x] = cache[0];
458         }
459         return;
460     }
461
462     __global__ void cuda_w_step(int n_y,
463                                int x_idx, int y_idx,
464                                double **w,
465                                double **r_k,
466                                double tau
467                                // double *w_next
468                                ) {
469         int tid_x = threadIdx.x + blockIdx.x * blockDim.x;
470         int tid_y = threadIdx.y + blockIdx.y * blockDim.y;
471         int i = tid_x - x_idx;
472         int j = tid_y - y_idx;
473         double r_k_scaled = r_k[i][j] * tau;

```



```

474     w[i][j] = w[i][j] - r_k_scaled;
475     return;
476 }
477
478
479 void get_idx_n_idx(int *idx,
480                   int *n_idx,
481                   int process_amnt,
482                   int grid_size,
483                   int coordinate){
484     if (grid_size % process_amnt == 0) {
485         *n_idx = grid_size / process_amnt;
486         *idx = coordinate * (grid_size / process_amnt);
487     }
488     else
489     {
490         if (coordinate == 0){
491             *n_idx = grid_size % process_amnt + grid_size / process_amnt;
492             *idx = 0;
493         } else
494         {
495             *n_idx = grid_size / process_amnt;
496             *idx = grid_size % process_amnt + coordinate * (grid_size /
497                 process_amnt);
498         }
499     }
500
501
502 void send_rcv_borders(int n_x, int n_y,
503                     const int process_amounts[2],
504                     double x_idx,
505                     double y_idx,
506                     const int my_coords[2],
507                     int tag,
508                     double **w,
509                     double *b_send,
510                     double *l_send,
511                     double *t_send,
512                     double *r_send,
513                     double *b_rec,
514                     double *l_rec,
515                     double *t_rec,
516                     double *r_rec,
517                     int left_border, int right_border,
518                     int top_border, int bottom_border,
519                     double h1, double h2,
520                     MPI_Comm MPI_COMM_CART
521 ){
522     int neighbour_coords[2];
523     int neighbour_rank;
524     // int num_threads_x = (int) sqrt(threadsPerBlock);
525     // int num_threads_y = threadsPerBlock / numThreadsX;
526     int blocksPerGrid_x = n_x / numThreadsX + 1;
527     int blocksPerGrid_y = n_y / numThreadsY + 1;
528     dim3 gridShape = dim3(blocksPerGrid_x, blocksPerGrid_y);
529     dim3 blockShape = dim3(numThreadsX, numThreadsY);
530
531     MPI_Request request[4] = {MPI_REQUEST_NULL, MPI_REQUEST_NULL,
532                             MPI_REQUEST_NULL, MPI_REQUEST_NULL};
533     MPI_Status status;
534

```

```

535 double *dev_b_send, *dev_l_send, *dev_t_send, *dev_r_send;
536 double *dev_b_rec, *dev_l_rec, *dev_t_rec, *dev_r_rec;
537 cudaMalloc((void**)&dev_b_send, sizeof(double[n_x]));
538 cudaMalloc((void**)&dev_t_send, sizeof(double[n_x]));
539 cudaMalloc((void**)&dev_b_rec, sizeof(double[n_x]));
540 cudaMalloc((void**)&dev_t_rec, sizeof(double[n_x]));
541
542 cudaMalloc((void**)&dev_l_send, sizeof(double[n_y]));
543 cudaMalloc((void**)&dev_r_send, sizeof(double[n_y]));
544 cudaMalloc((void**)&dev_l_rec, sizeof(double[n_y]));
545 cudaMalloc((void**)&dev_r_rec, sizeof(double[n_y]));
546 ///////////////////////////////////////////////////
547 // Bottom border send
548 if ((process_amounts[1] > 1) && !bottom_border) {
549     get_bottom<<<gridShape, blockShape>>>(n_x, n_y,
550                                         x_idx, y_idx,
551                                         w, dev_b_send);
552     cudaMemcpy(b_send, dev_b_send,
553               sizeof(double[n_x]), cudaMemcpyDeviceToHost);
554
555     neighbour_coords[0] = my_coords[0];
556     neighbour_coords[1] = my_coords[1] - 1;
557
558     MPI_Cart_rank(MPI_COMM_CART, neighbour_coords, &neighbour_rank);
559     MPI_Isend(b_send, n_x, MPI_DOUBLE,
560              neighbour_rank, tag + DOWN_TAG,
561              MPI_COMM_CART, &request[0]);
562 }
563
564 // Left border send
565 if ((process_amounts[0] > 1) && !left_border) {
566     get_left<<<gridShape, blockShape>>>(n_x, n_y,
567                                         x_idx, y_idx,
568                                         w, dev_l_send);
569     cudaMemcpy(l_send, dev_l_send,
570               sizeof(double[n_y]), cudaMemcpyDeviceToHost);
571
572     neighbour_coords[0] = my_coords[0] - 1;
573     neighbour_coords[1] = my_coords[1];
574
575     MPI_Cart_rank(MPI_COMM_CART, neighbour_coords, &neighbour_rank);
576     MPI_Isend(l_send, n_y, MPI_DOUBLE,
577              neighbour_rank, tag,
578              MPI_COMM_CART, &request[1]);
579 }
580
581 // Top border
582 if ((process_amounts[1] > 1) && !top_border) {
583     get_top<<<gridShape, blockShape>>>(n_x, n_y,
584                                         x_idx, y_idx,
585                                         w, dev_t_send);
586     cudaMemcpy(t_send, dev_t_send,
587               sizeof(double[n_x]), cudaMemcpyDeviceToHost);
588
589     neighbour_coords[0] = my_coords[0];
590     neighbour_coords[1] = my_coords[1] + 1;
591
592     MPI_Cart_rank(MPI_COMM_CART, neighbour_coords, &neighbour_rank);
593     MPI_Isend(t_send, n_x, MPI_DOUBLE,
594              neighbour_rank, tag,
595              MPI_COMM_CART, &request[2]);
596 }

```

```

597
598 // Right border
599 if ((process_amounts[0] > 1) && !right_border) {
600     get_right<<<gridShape, blockShape>>>(n_x, n_y,
601                                         x_idx, y_idx,
602                                         w, dev_r_send);
603     cudaMemcpy(r_send, dev_r_send,
604               sizeof(double[n_y]), cudaMemcpyDeviceToHost);
605
606     neighbour_coords[0] = my_coords[0] + 1;
607     neighbour_coords[1] = my_coords[1];
608
609     MPI_Cart_rank(MPI_COMM_CART, neighbour_coords, &neighbour_rank);
610     MPI_Isend(r_send, n_y, MPI_DOUBLE,
611              neighbour_rank, tag,
612              MPI_COMM_CART, &request[3]);
613 }
614
615 // Receive borders
616 // Bottom border
617 if ((bottom_border && (process_amounts[1] > 1)) || (process_amounts[1] ==
618     1)) {
619     preset_bottom<<<gridShape, blockShape>>>(n_x, n_y, x_idx, y_idx, w, h1
620     , h2);
621 } else {
622     neighbour_coords[0] = my_coords[0];
623     neighbour_coords[1] = my_coords[1] - 1;
624     MPI_Cart_rank(MPI_COMM_CART, neighbour_coords, &neighbour_rank);
625     MPI_Recv(b_rec, n_x, MPI_DOUBLE,
626             neighbour_rank, tag, MPI_COMM_CART, &status);
627
628     cudaMemcpy(dev_b_rec, b_rec,
629               sizeof(double[n_x]), cudaMemcpyHostToDevice);
630     set_bottom<<<gridShape, blockShape>>>(n_x, n_y, x_idx, y_idx, w,
631     dev_b_rec);
632 }
633
634 // Left border
635 if ((left_border && (process_amounts[0] > 1)) || (process_amounts[0] ==
636     1)) {
637     preset_left<<<gridShape, blockShape>>>(n_x, n_y, x_idx, y_idx, w, h1,
638     h2);
639 } else {
640     neighbour_coords[0] = my_coords[0] - 1;
641     neighbour_coords[1] = my_coords[1];
642
643     MPI_Cart_rank(MPI_COMM_CART, neighbour_coords, &neighbour_rank);
644     MPI_Recv(l_rec, n_y, MPI_DOUBLE,
645             neighbour_rank, tag, MPI_COMM_CART, &status);
646
647     cudaMemcpy(dev_l_rec, l_rec,
648               sizeof(double[n_y]), cudaMemcpyHostToDevice);
649     set_left<<<gridShape, blockShape>>>(n_x, n_y, x_idx, y_idx, w,
650     dev_l_rec);
651 }
652
653 // Top border
654 if ((top_border && (process_amounts[1] > 1)) || (process_amounts[1] == 1)
655     ) {
656     preset_top<<<gridShape, blockShape>>>(n_x, n_y, x_idx, y_idx, w, h1,
657     h2);

```

```

651     } else {
652         neighbour_coords[0] = my_coords[0];
653         neighbour_coords[1] = my_coords[1] + 1;
654         MPI_Cart_rank(MPI_COMM_CART, neighbour_coords, &neighbour_rank);
655         MPI_Recv(t_rec, n_x, MPI_DOUBLE,
656                 neighbour_rank, tag + DOWN_TAG,
657                 MPI_COMM_CART, &status);
658
659         cudaMemcpy(dev_t_rec, t_rec,
660                   sizeof(double[n_x]), cudaMemcpyHostToDevice);
661         set_top<<<gridShape, blockShape>>>(n_x, n_y, x_idx, y_idx, w,
662                 dev_t_rec);
663     }
664
665     // Right border
666     if ((right_border && (process_amounts[0] > 1)) || (process_amounts[0] ==
667         1)) {
668         preset_right<<<gridShape, blockShape>>>(n_x, n_y, x_idx, y_idx, w, h1,
669             h2);
670     } else {
671         neighbour_coords[0] = my_coords[0] + 1;
672         neighbour_coords[1] = my_coords[1];
673         MPI_Cart_rank(MPI_COMM_CART, neighbour_coords, &neighbour_rank);
674         MPI_Recv(r_rec, n_y, MPI_DOUBLE,
675                 neighbour_rank, tag, MPI_COMM_CART, &status);
676
677         cudaMemcpy(dev_r_rec, r_rec,
678                   sizeof(double[n_y]), cudaMemcpyHostToDevice);
679         set_right<<<gridShape, blockShape>>>(n_x, n_y, x_idx, y_idx, w,
680                 dev_r_rec);
681     }
682
683     for (int i = 0; i < 4; i++) {
684         MPI_Wait(&request[i], &status);
685     }
686 }
687
688 void cudaDotProduct(int n_x, int n_y,
689                    int x_idx, int y_idx,
690                    double **U, double **V,
691                    double h1, double h2,
692                    int left_border, int right_border,
693                    int top_border, int bottom_border,
694                    double *curr_sum)
695 {
696     // int num_threads_x = (int) sqrt(threadsPerBlock);
697     // int num_threads_y = threadsPerBlock / numThreadsX;
698     int blocksPerGrid_x = n_x / numThreadsX + 1;
699     int blocksPerGrid_y = n_y / numThreadsY + 1;
700     dim3 gridShape = dim3(blocksPerGrid_x, blocksPerGrid_y);
701     dim3 blockShape = dim3(numThreadsX, numThreadsY);
702     ///////////////
703     double c, *partial_c;
704     double *dev_partial_c;
705     partial_c = (double*) calloc(blocksPerGrid_x, sizeof(double));
706     // Allocate device memory
707     cudaMalloc((void**)&dev_partial_c, blocksPerGrid_x * sizeof(double));
708     ///////////////
709     cuda_dot_product<<<gridShape, blockShape>>>(n_x, n_y, x_idx, y_idx,
710         U, V, h1, h2,
711         left_border, right_border,

```

```

709                                     top_border, bottom_border,
710                                     dev_partial_c);
711     cudaMemcpy(partial_c, dev_partial_c,
712               blocksPerGrid_x * sizeof(double),
713               cudaMemcpyDeviceToHost);
714     c = 0;
715     for (int i = 0; i < blocksPerGrid_x; ++i) {
716         c = c + partial_c[i];
717     }
718     (*curr_sum) = c;
719     ///////////
720     cudaFree(dev_partial_c);
721     free(partial_c);
722     return;
723 }
724
725
726 int main(int argc, char *argv[]) {
727     if (argc != 3) {
728         printf("Program receive %d numbers. Should be 2: M, N\n", argc);
729         return -1;
730     }
731
732     int M = atoi(argv[argc - 2]);
733     int N = atoi(argv[argc - 1]);
734     if ((M <= 0) || (N <= 0)) {
735         printf("M and N should be integer and > 0!!!\n");
736         return -1;
737     }
738     printf("M = %d, N = %d\n", M, N);
739     int my_rank, n_processes;
740     int process_amounts[2] = {0, 0};
741     int write[1] = {0};
742     double h1 = (A2 - A1) / M;
743     double h2 = (B2 - B1) / N;
744     double cur_eps = 1.0;
745
746     MPI_Init(&argc, &argv);
747     MPI_Status status;
748
749     // For the cartesian topology
750     MPI_Comm MPI_COMM_CART;
751     MPI_Comm_rank(MPI_COMM_WORLD, &my_rank);
752     MPI_Comm_size(MPI_COMM_WORLD, &n_processes);
753
754     // Creating rectangular supports
755     MPI_Dims_create(n_processes, 2, process_amounts);
756     int periods[2] = {0, 0};
757
758     // Create cartesian topology in communicator
759     MPI_Cart_create(MPI_COMM_WORLD, 2,
760                    process_amounts, periods,
761                    1, &MPI_COMM_CART);
762
763     int my_coords[2];
764     // Receive corresponding to rank process coordinates
765     MPI_Cart_coords(MPI_COMM_CART, my_rank, 2, my_coords);
766
767     int x_idx, n_x;
768     get_idx_n_idx(&x_idx, &n_x, process_amounts[0], M+1, my_coords[0]);
769
770     int y_idx, n_y;

```

```

771     get_idx_n_idx(&y_idx, &n_y, process_amounts[1], N+1, my_coords[1]);
772
773     double start_time = MPI_Wtime();
774     //////////////////////////////////////
775     cudaProfilerStart();
776     // int num_threads_x = (int) sqrt(threadsPerBlock);
777     // int num_threads_y = threadsPerBlock / numThreadsX;
778     int blocksPerGrid_x = n_x / numThreadsX + 1;
779     int blocksPerGrid_y = n_y / numThreadsY + 1;
780     dim3 gridShape = dim3(blocksPerGrid_x, blocksPerGrid_y);
781     dim3 blockShape = dim3(numThreadsX, numThreadsY);
782     //////////////////////////////////////
783     double *t_send = (double *) malloc(sizeof(double[n_x]));
784     double *t_rec = (double *) malloc(sizeof(double[n_x]));
785     double *b_send = (double *) malloc(sizeof(double[n_x]));
786     double *b_rec = (double *) malloc(sizeof(double[n_x]));
787
788     double *l_send = (double *) malloc(sizeof(double[n_y]));
789     double *l_rec = (double *) malloc(sizeof(double[n_y]));
790     double *r_send = (double *) malloc(sizeof(double[n_y]));
791     double *r_rec = (double *) malloc(sizeof(double[n_y]));
792     int n_iters = 0;
793     double block_eps;
794
795     double **w, **w_pr, **B;
796     double **Aw, **r_k, **Ar, **w_w_pr;
797
798     cudaMalloc((void**)&w, sizeof(double[n_x + 2][n_y + 2]));
799     cudaMalloc((void**)&w_pr, sizeof(double[n_x + 2][n_y + 2]));
800     cudaMalloc((void**)&B, sizeof(double[n_x + 2][n_y + 2]));
801     cudaMalloc((void**)&Aw, sizeof(double[n_x + 2][n_y + 2]));
802     cudaMalloc((void**)&r_k, sizeof(double[n_x + 2][n_y + 2]));
803     cudaMalloc((void**)&Ar, sizeof(double[n_x + 2][n_y + 2]));
804     cudaMalloc((void**)&w_w_pr, sizeof(double[n_x + 2][n_y + 2]));
805     //////////////////////////////////////
806     double tau = 0;
807     double global_tau = 0;
808     double denominator;
809     double whole_denum;
810     // double global_alpha, global_beta;
811     // double eps_local, eps_r;
812     int left_border = 0;
813     int top_border = 0;
814     int right_border = 0;
815     int bottom_border = 0;
816     if (my_coords[0] == 0)
817         left_border = 1;
818
819     if (my_coords[0] == (process_amounts[0] - 1))
820         right_border = 1;
821
822     if (my_coords[1] == 0)
823         bottom_border = 1;
824
825     if (my_coords[1] == (process_amounts[1] - 1))
826         top_border = 1;
827     //////////////////////////////////////
828     cudaB_right<<<gridShape, blockShape>>>(n_x, n_y, B,
829                                             x_idx, y_idx,
830                                             h1, h2,
831                                             A1 + x_idx * h1,
832                                             B1 + y_idx * h2,

```

```

833         left_border, right_border,
834         top_border, bottom_border);
835     init_w<<<gridShape, blockShape>>>(n_x, w);
836
837     int tag = 0;
838     while ((cur_eps > EPS_REL) && (n_iters < MAX_ITER)) {
839         if (my_rank == 0) {
840             if (n_iters % 1000 == 0)
841                 printf("%g \n", cur_eps);
842         }
843         n_iters++;
844
845         copy_interior_w<<<gridShape, blockShape>>>(n_x, n_y,
846                                                     w, w_pr);
847
848         send_recv_borders(n_x, n_y, process_amounts,
849                           x_idx, y_idx, my_coords, tag,
850                           w,
851                           b_send, l_send, t_send, r_send,
852                           b_rec, l_rec, t_rec, r_rec,
853                           left_border, right_border,
854                           top_border, bottom_border,
855                           h1, h2, MPI_COMM_CART);
856         cuda_Aw_mult<<<gridShape, blockShape>>>(n_x, n_y,
857                                                  x_idx, y_idx,
858                                                  Aw, w,
859                                                  h1, h2,
860                                                  A1 + x_idx * h1, B1 + y_idx * h2,
861                                                  left_border, right_border,
862                                                  top_border, bottom_border);
863
864         calculate_r<<<gridShape, blockShape>>>(n_x, n_y,
865                                                  x_idx, y_idx,
866                                                  r_k, Aw, B);
867         send_recv_borders(n_x, n_y, process_amounts,
868                           x_idx, y_idx, my_coords, tag,
869                           r_k,
870                           b_send, l_send, t_send, r_send,
871                           b_rec, l_rec, t_rec, r_rec,
872                           left_border, right_border,
873                           top_border, bottom_border,
874                           h1, h2, MPI_COMM_CART);
875         cuda_Aw_mult<<<gridShape, blockShape>>>(n_x, n_y,
876                                                  x_idx, y_idx,
877                                                  Ar, r_k,
878                                                  h1, h2,
879                                                  A1 + x_idx * h1, B1 + y_idx * h2,
880                                                  left_border, right_border,
881                                                  top_border, bottom_border);
882         cudaDotProduct(n_x, n_y,
883                        x_idx, y_idx,
884                        Ar, r_k, h1, h2,
885                        left_border, right_border,
886                        top_border, bottom_border,
887                        &tau);
888
889         cudaDotProduct(n_x, n_y,
890                        x_idx, y_idx,
891                        Ar, Ar, h1, h2,
892                        left_border, right_border,
893                        top_border, bottom_border,
894                        &denominator);

```

```

895     MPI_Allreduce(&tau, &global_tau, 1,
896                 MPI_DOUBLE, MPI_SUM, MPI_COMM_CART);
897     MPI_Allreduce(&denominator, &whole_denum, 1,
898                 MPI_DOUBLE, MPI_SUM, MPI_COMM_CART);
899     global_tau = global_tau / whole_denum;
900     cuda_w_step<<<gridShape, blockShape>>>(n_y,
901         x_idx, y_idx,
902         w, r_k,
903         tau
904     // w_next
905     );
906     calculate_r<<<gridShape, blockShape>>>(n_x, n_y,
907         x_idx, y_idx,
908         w_w_pr, w, w_pr);
909
910     cudaDotProduct(n_x, n_y,
911         x_idx, y_idx,
912         w_w_pr, w_w_pr, h1, h2,
913         left_border, right_border,
914         top_border, bottom_border,
915         &block_eps);
916     block_eps = sqrt(block_eps);
917
918     MPI_Allreduce(&block_eps, &cur_eps, 1,
919                 MPI_DOUBLE, MPI_SUM, MPI_COMM_CART);
920 }
921
922 // Waiting for all processes
923 MPI_Barrier(MPI_COMM_WORLD);
924 double end_time = MPI_Wtime();
925
926 if (my_rank != 0) {
927     MPI_Recv(write, 1, MPI_INT, my_rank - 1, 0, MPI_COMM_WORLD, &status);
928 } else {
929     printf("TIME = %f\n", end_time - start_time);
930     printf("Number of iterations = %d\n", n_iters);
931     printf("Tau = %f\n", tau);
932     printf("Eps = %f\n", EPS_REL);
933 }
934
935 if (my_rank != n_processes - 1)
936     MPI_Send(write, 1, MPI_INT, my_rank + 1, 0, MPI_COMM_WORLD);
937
938
939 cudaFree(w);
940 cudaFree(w_pr);
941 cudaFree(B);
942 cudaFree(Aw);
943 cudaFree(r_k);
944 cudaFree(Ar);
945 cudaFree(w_w_pr);
946
947 free(t_send);
948 free(t_rec);
949 free(b_send);
950 free(b_rec);
951 free(r_send);
952 free(r_rec);
953 free(l_send);
954 free(l_rec);
955 cudaProfilerStop();
956 MPI_Finalize();

```



```
957     return 0;
958 }
```

Листинг 3: main_huge.cu

11 Приложение 4. Сборка CUDA программы

```
1 cuda_neuman_pde: main_huge.cu
2  nvcc -gencode arch=compute_52,code=sm_52 -gencode arch=compute_60,code=sm_60 -I./ -I
    . -I/opt/ibm/spectrum_mpi/include -L/tmp/lepera/yeti_10010004_RTM2/ibm-mpi/
    ompibase/dependencies/lib -L/opt/ibm/spectrum_mpi/lib -lmpiprofilesupport -
    lmpi_ibm -lm main_huge.cu -o cuda_neuman_pde
    ../code/makefile
```

12 Приложение 5. Запуск CUDA

```
1 #BSUB -n 4 -q short
2 #BSUB -W 00:15
3 #BSUB -R "span[ptile=2]"
4 #BSUB -gpu "num=1:mode=exclusive_process"
5 #BSUB -o cuda_500_1000_out
6 #BSUB -e cuda_500_1000_err
7 OMP_NUM_THREADS=1 mpirun ./cuda_neuman_pde 500 1000
    ../code/task.lsf
```